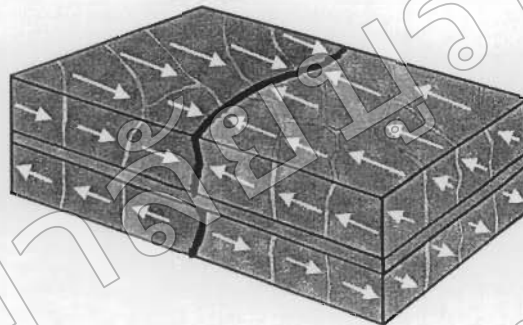


บทที่ 2

เอกสารและงานวิจัยที่เกี่ยวข้อง

2.1 อันตรกิริยาคู่ความแม่เหล็กแบบแอนติเฟอร์โร



ภาพที่ 1 แสดงชั้นวัสดุที่มีสมบัติทางแม่เหล็กแบบ AFC (Fullerton et al., 2003, p. 639)

วัสดุที่มีสมบัติทางแม่เหล็กแบบ AFC ประกอบไปด้วยชั้นวัสดุแม่เหล็ก FM สองชั้นที่มีแมgnитอิเล็กทรอนิกส์ (MnFe₂O₄) และชั้นที่ส่วนทางกันถูกแทนด้วยชั้นวัสดุแบบ NM ที่มีความหนาที่เหมาะสม ซึ่งแสดงลักษณะทั่วไปได้ดังภาพที่ 1 ความหนาของชั้นวัสดุแบบ NM เช่น Ru, Cr (Gavrila, 2004, p.893) และ Os (Chen, Yao, & Wu, 2006, 2007) จะมีอิทธิพลต่อค่าคงที่ของความแรงคู่คุณ J ของอันตรกิริยาแบบ AFC เป็นอย่างมาก จากงานวิจัยของ Jiang, Tezuka, and Inomata (2006) พบว่า J ในวัสดุพิล๊บบังของ FePt/Ru/Fe จะมีค่าที่เปลี่ยนไปตามค่าความหนาของชั้น NM ที่เปลี่ยนแปลงไป ซึ่งสอดคล้องกับผลการวิจัยของ Parkin, More, and Roche (1990) นอกจากนี้พบว่าค่า J ของวัสดุที่มีอันตรกิริยาแบบ AFC นั้นสามารถพิจารณาได้จากค่าสนามแม่เหล็กอิ่มตัว (Saturation field; H_s) เป็นสนามแม่เหล็กจากภายนอกที่ทำให้วัสดุแม่เหล็กมีแมgnитอิเล็กทรอนิกส์ (MnFe₂O₄) และค่าแมgnิตอิเล็กทรอนิกส์ของชั้นวัสดุแบบ FM ทั้งสอง ($M_{s1,s2}$) ดังสมการ

$$J = -\mu_0 H_s M_{s1} t_1 M_{s2} t_2 / (M_{s1} t_1 + M_{s2} t_2) \quad (1)$$

เมื่อ μ_0 คือค่าสกัดจากค่าสนามแม่เหล็กในสูญญากาศ (Vacuum permeability) และ $t_{1,2}$ คือค่าความหนาของชั้น FM ทั้งสอง (Guo et al., 2010, p. 46) และจากรายงานวิจัยที่ผ่านมาได้มี

การศึกษาหาค่า J ของวัสดุฟิล์มบาง CoFe/Os /CoFe (Chen et al., 2006) และ FePt/Os/FePt (Chen et al., 2007) ซึ่งชั้นวัสดุ FM ทั้งสองเป็นวัสดุชนิดเดียวกัน ($M_{s1} = M_{s2} = M_s$) และมีความหนาเท่ากัน ($t_1 = t_2 = t$) ทำให้สามารถคำนวณค่า J ได้ในรูปของ

$$J = -\mu_0 H_s M_s t / 2 \quad (2)$$

วัสดุที่มีสมบัติแม่เหล็กแบบ AFC นั้น ได้ถูกนำมาใช้ในอุปกรณ์ทางแม่เหล็กที่สำคัญโดยเฉพาะทางด้านอุปกรณ์บันทึกข้อมูลชนิดแม่เหล็ก ซึ่งได้แก่ การนำมาใช้เป็นเซนเซอร์แม่เหล็ก และชั้นสื่อบันทึกข้อมูลชนิดแม่เหล็ก จากงานวิจัยของ Engel et al. (2005) พบว่าการนำวัสดุแบบ AFC ไปใช้เป็นชั้น free layer แทนชั้นวัสดุแม่เหล็กแบบชั้นเดียวใน Magnetic tunnel junction (MTJ) ซึ่งเป็นองค์ประกอบของเซนเซอร์แม่เหล็กใน MRAM จะทำให้การอ่านและบันทึกข้อมูลมีประสิทธิภาพที่สูงขึ้น ในเวลาต่อมาพบว่าวัสดุแบบ AFC จะช่วยพัฒนาการอ่านสัญญาณด้วยการทำให้ค่าสัดส่วน Tunnel magnetoresistance (TMR) สูงขึ้น โดยจะมีค่าสูงถึง 70% ใน MTJ ที่มีชั้น AlO_x เป็นชั้นรอยต่อ (barrier) และ 472% ใน MTJ ที่มีชั้น MgO เป็นชั้นรอยต่อ (Wiese et al., 2007, p. 61002-p2) ในกรณีของสปินวัลว์ซึ่งได้ถูกนำมาใช้เป็นเซนเซอร์แม่เหล็กของหัวอ่านข้อมูลในฮาร์ดดิสก์นั้น พบว่าการนำวัสดุแม่เหล็กแบบ AFC ไปใช้เป็นชั้นวัสดุในสปินวัลว์จะช่วยทำให้การอ่านข้อมูลในฮาร์ดดิสก์มีค่าสัญญาณที่ดี โดย Qiu et al. (2006) พบว่าเมื่อนำ CoPt/Ru/CoFe ไปใช้เป็นชั้น Pinning/Pinned ในสปินวัลว์จะทำให้ค่าสัดส่วน MR มีค่าสูงถึง 10.68%

เมื่อพิจารณาว่าวัสดุแม่เหล็กที่มีอันตรกิริยาแบบ AFC ซึ่งมีชั้นฟิล์มอยู่ในรูปแบบของ $\text{FM}_1/\text{NM}/\text{FM}_2$ นั้นพบว่าจะมีค่า Magnetic energy barrier ($K_u V$)_{eff} ที่สูงขึ้นเมื่อเปรียบเทียบกับฟิล์มแม่เหล็ก FM_1 หรือ FM_2 เพียงชั้นเดียว โดยสามารถสังเกตได้จากความสัมพันธ์ $(K_u V)_1 < (K_u V)_{eff} < (K_u V)_1 + (K_u V)_2$ ซึ่งปรากฏอยู่ในงานวิจัยของ Fullerton et al. (2000, 2003) โดยที่ $(K_u V)_1$ และ $(K_u V)_2$ คือ Magnetic energy barrier ของชั้น FM_1 และ FM_2 ตามลำดับ การที่วัสดุดังกล่าวมีค่า $K_u V$ ที่สูงทำให้มีเสถียรภาพทางความร้อนที่ดี จึงเหมาะสมต่อการนำวัสดุแบบ AFC ไปใช้เป็นชั้นสื่อบันทึกข้อมูลชนิดแม่เหล็กแบบตามยาว (Longitudinal magnetic recording media; LMR) ในฮาร์ดดิสก์ โดยที่ชั้นสื่อดังกล่าวจำเป็นต้องใช้วัสดุที่มีค่า $K_u V > 40k_B T$ (เมื่อ k_B คือ ค่าคงที่ของโบลท์zman และ T คือ อุณหภูมิสัมบูรณ์) เพื่อจะสามารถใช้บันทึกเก็บรักษาข้อมูลได้นานมากกว่า 10 ปี โดยปราศจากการเกิดสภาพะชุดเปลือร์

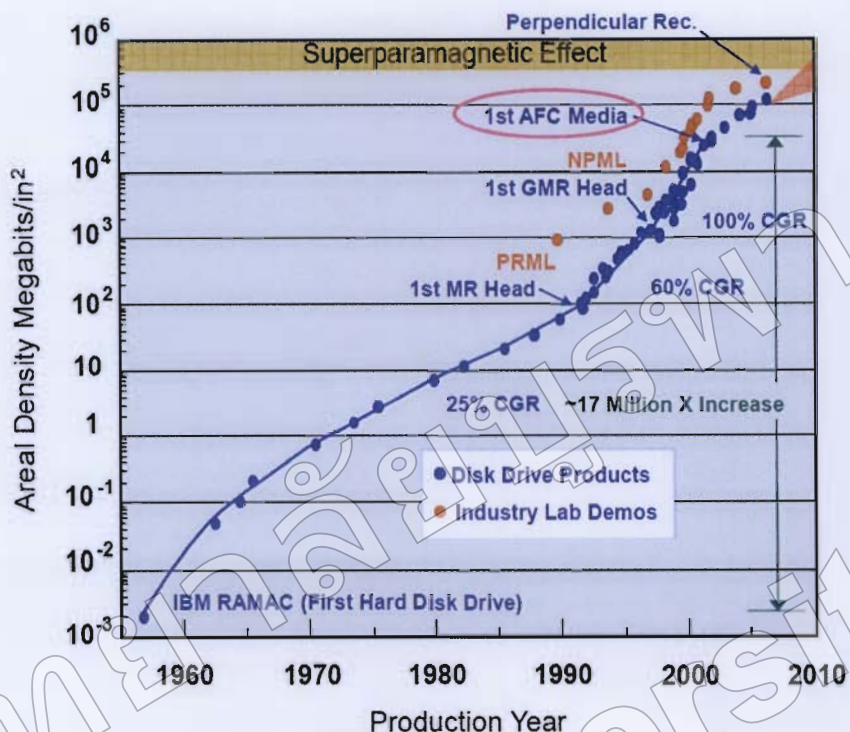
พาราแมกเนติก (Superparamagnetism) และจากบทความวิจัยของ Gavrila (2004, pp. 891-897) ได้แสดงให้เห็นว่า นอกจากเสถียรภาพทางความร้อนที่ดีขึ้น วัสดุแบบ AFC ยังมีค่าความหนาทางแม่เหล็ก (Magnetic thickness; $M_r t$) ที่ลดลงเมื่อเปรียบเทียบกับชั้นวัสดุ FM₁ เพียงชั้นเดียวตามสมการ

$$(M_r t)_{eff} = (M_r t)_1 - (M_r t)_2 \quad (3)$$

เมื่อ $(M_r t)_1$ และ $(M_r t)_2$ คือความหนาทางแม่เหล็กของชั้นวัสดุ FM₁ และ FM₂ ตามลำดับ การลดค่า $M_r t$ ของชั้นสีอบนทึกข้อมูลชนิดแม่เหล็กนี้ จะช่วยทำให้อัตราส่วนของสัญญาณ/ข้อมูล ต่อสัญญาณรบกวน (Signal to noise ratio; SNR) มีค่าที่สูง ซึ่งเกิดจากการลดลงของค่า Transition parameter (a) ตามสมการ

$$a \cong \sqrt{\frac{(M_r t)}{H_c} \left(d + \frac{t}{2} \right) C} \quad (4)$$

เมื่อ H_c คือ ค่าสนามแม่เหล็กหักล้าง (Coercivity) ของชั้นสีอบนทึกข้อมูลชนิดแม่เหล็ก, d คือ ระยะห่างระหว่างหัวบันทึกกับชั้นสีอบนทึกข้อมูล และ C คือ ค่าคงที่ซึ่งกำหนดจากตัวแปร อื่น ๆ ของการบันทึกข้อมูล จากคุณสมบัติทางด้านเสถียรภาพทางความร้อนและค่าความหนา แม่เหล็กของวัสดุแบบ AFC ที่ได้กล่าวมาข้างต้น วัสดุดังกล่าวจึงถูกนำมาใช้เป็นชั้นสีอบนทึกข้อมูล ชนิดแม่เหล็กที่มีประสิทธิภาพสูงและส่งผลให้เกิดความเร็วในการอ่านข้อมูล อย่างต่อเนื่อง สำหรับการประยุกต์ใช้ในอุตสาหกรรมการผลิต สาร์คดิสก์ในเวลาต่อมา ซึ่งสามารถสังเกตได้จากการพัฒนาการของอุตสาหกรรมการผลิตสาร์คดิสก์ ที่แสดงดังภาพที่ 2



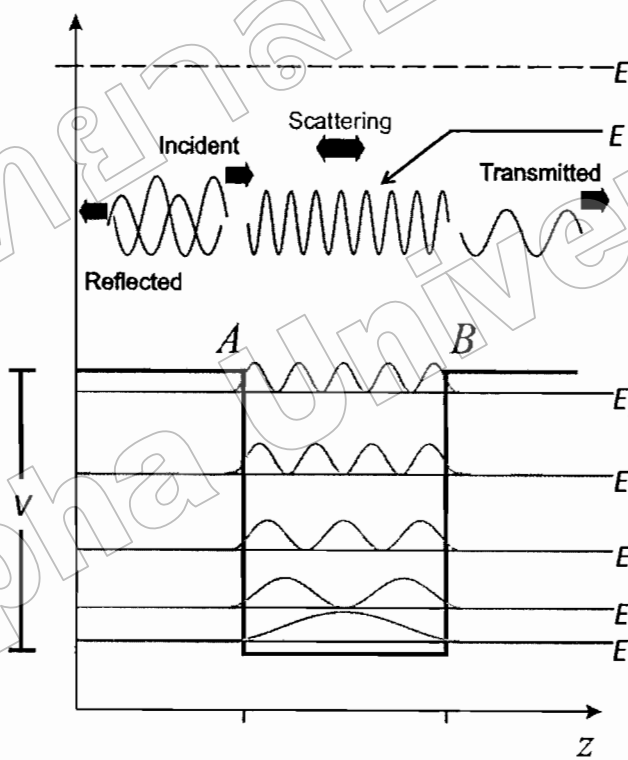
ภาพที่ 2 แสดงพัฒนาการของอุตสาหกรรมการผลิตฮาร์ดดิสก์ (Kobayashi, Dolivo, & Eleftheriou, slide, 2007, p. 6)

2.2 อันตรกริยาแลกเปลี่ยนคู่ความแม่เหล็กระหว่างชั้นฟิล์ม

อันตรกริยาแลกเปลี่ยนคู่ความแม่เหล็ก (Interlayer exchange coupling; IEC) ที่เกิดขึ้นระหว่างแม่กนิไต์ชั้นของชั้นฟิล์ม FM ที่ถูกแทรกด้วยชั้นฟิล์ม NM นั้น จะมีรูปแบบของการเกิดอันตรกริยาที่เปลี่ยนแปลงไปตามความหนาของชั้น NM โดยการเปลี่ยนแปลงดังกล่าวจะเป็นการสลับกันระหว่าง การเกิดอันตรกริยาแบบ AFC ซึ่งเป็นสภาพที่แมกนิไต์ชั้นของชั้น FM ทั้งสองชั้น FM ทั้งสองชั้น FM ที่ตัวอยู่ในทิศทางตรงกันข้าม และการเกิดอันตรกริยาแบบ FC ซึ่งเป็นสภาพที่แมกนิไต์ชั้นของชั้น FM ทั้งสองชั้น FM ที่ตัวอยู่ในทิศทางเดียวกัน ปรากฏการณ์ดังกล่าวมีลักษณะที่คล้ายกับอันตรกริยาแบบ RKKY (Ruderman-Kittel-Kasuya-Yoshida interaction) ที่ถูกค้นพบในปี 1950 (Korkin & Rosei, 2008, pp. 65-68) ซึ่งเป็นอันตรกริยาที่เกิดขึ้นในก้อนวัสดุแม่เหล็กที่มีความบริสุทธิ์ต่ำ โดยความไม่บริสุทธิ์ในวัสดุดังกล่าวจะทำหน้าที่เป็นสาร NM คั่นแทรกกลางระหว่างอะตอมหรือโมเลกุลของสาร FM ทำให้เกิดอันตรกริยาแลกเปลี่ยนคู่ความแม่เหล็กระหว่างโมเมนต์แม่เหล็กในอะตอมหรือโมเลกุลของสาร FM ในก้อนวัสดุดังกล่าวขึ้น ต่อมามีอีกหนึ่งทางการสร้างส่วนที่ฟิล์มบางมีการพัฒนาขึ้น จนสามารถเตรียมฟิล์มที่มีความสมบูรณ์ทางโครงสร้างสูง และมีความหนา

ในระดับนาโนเมตรได้ทำให้ Grünberg ค้นพบการเกิดอันตรกิริยาแบบ AFC ในฟิล์มแบบหลายชั้น Fe/Cr/Fe ในปี 1986 (Grünberg, Schreiber, Pang, Brodsky, & Sowers, 1986) ซึ่งเป็นจุดเริ่มต้นที่สำคัญของการวิจัยปรากฏการณ์ของอันตรกิริยา IEC ในเวลาต่อมา และจากการวิจัยที่ผ่านมา (Kaiser, 2009, pp. 15-18; Mills & Bland, 2006, pp. 51-76; Ortega, Himpel, Mankey, & Willis, 1993; Stiles, 2002) นั้นได้มีการอธิบายถึงปรากฏการณ์ของการเกิดอันตรกิริยา IEC ในฟิล์มบาง FM/NM/FM โดยใช้แบบจำลองของอิเล็กตรอนอิสระ (Free electron model) ในบ่อศักย์แบบควอนตัม (Quantum well; QW)

2.2.1 บ่อศักย์แบบควอนตัม



ภาพที่ 3 แสดงระดับชั้นพลังงานของอิเล็กตรอนในบ่อศักย์ที่มีความกว้าง L (Kyselov, 2010, p. 19)

บ่อศักย์แบบควอนตัม คือ ปรากฏการณ์ที่อนุภาคถูกกักอยู่ในบ่อศักย์มีพลังงานที่ไม่ต่อเนื่อง โดยจะเกิดขึ้นในกรณีที่อนุภาคดังกล่าวมีขนาดเล็กมาก จนถูกประมวลผลเป็นคลื่นของอนุภาคแสดงออกมาได้อย่างเด่นชัด เช่น การถูกกักอยู่ในบ่อศักย์ของอิเล็กตรอน นอกจากนี้ขนาดของบ่อศักย์จะต้องมีค่าที่ใกล้เคียงกับความยาวคลื่นเด布โรglie (De Broglie wave length; λ_{dB}) ของอนุภาคที่ถูกกักอยู่ภายใน เมื่อพิจารณาการเคลื่อนที่ของอิเล็กตรอนผ่านบ่อศักย์กึ่งอนันต์ (Semi-

infinite) ใน 1 มิติที่มีความกว้าง L ไกล้เคียงกับค่า λ_{dB} ของอิเล็กตรอน และพลังงานศักย์ภัยในบ่อ มีค่าน้อยมาก ในภาพที่ 3 พบว่า ในกรณีของอิเล็กตรอนที่มีพลังงานต่ำกว่าพลังงานศักย์ของบ่อ ($E < V$) อิเล็กตรอนจะถูกกักอยู่ภายนอกบ่อศักย์ โดยมีการสะท้อนและเคลื่อนที่ไปชนกับผนังของบ่อศักย์อย่างต่อเนื่อง คลื่นของอิเล็กตรอนที่เคลื่อนที่อยู่ภายนอกบ่อศักย์จะเกิดการแทรกสอดกัน และมีการประกายคลื่นนึงของอิเล็กตรอนขึ้น โดยที่ฟังก์ชันคลื่น (ψ) ของคลื่นนึงของอิเล็กตรอนในบ่อศักย์กึ่งอนันต์ สามารถหาได้จากการพิจารณาสมการเรอัคิงเจอร์ของอนุภาคในกล่อง (Particle in a box) ซึ่งมีค่าเท่ากับ

$$\psi_n = \sqrt{\frac{2}{L}} \sin\left(\frac{n\pi x}{L}\right) \quad \text{เมื่อ } n = 1, 2, 3, \dots \quad (5)$$

ผลของการแทรกสอดของคลื่นอิเล็กตรอนจะทำให้ค่าพลังงานของอนุภาคดังกล่าวในบ่อศักย์เกิดความไม่ต่อเนื่อง และมีการแบ่งออกเป็นระดับชั้นดังภาพที่ 3 ซึ่งสามารถคำนวณได้จากความสัมพันธ์

$$E_n = \frac{n^2 \pi^2 \hbar^2}{2m_e L^2} \quad (6)$$

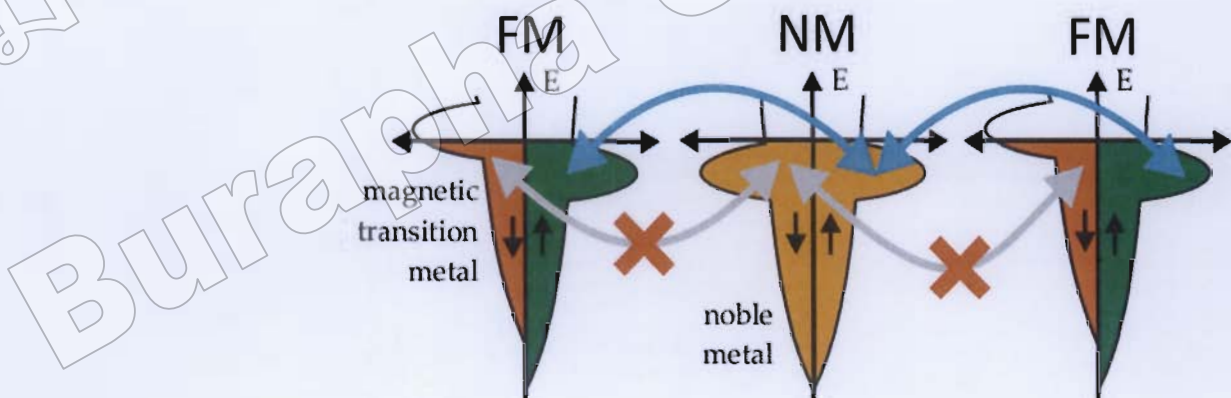
เมื่อ $n = 1, 2, 3, \dots$ และ m_e คือมวลของอิเล็กตรอน โดยสถานะพลังงานของอิเล็กตรอนที่ถูกกักอยู่ภายนอกบ่อศักย์เรียกว่า สถานะผูกมัด (Bound state) สำหรับอิเล็กตรอนที่มีพลังงานสูงกว่าพลังงานศักย์ของบ่อ ($E > V$) เมื่อเคลื่อนที่ผ่านบ่อศักย์จะไม่ถูกกักอยู่ภายนอกบ่อ แต่จะเกิดการแทรกสอดกับคลื่นของอิเล็กตรอนที่เกิดการสะท้อนกับด้านบนของบ่อศักย์และเคลื่อนที่กลับมา ทำให้ปรากฏคลื่นนึงขึ้นเหนือบ่อศักย์ดังกล่าว การแทรกสอดของคลื่นของอิเล็กตรอนเนื่องจากการเคลื่อนที่ผ่านบ่อศักย์นี้ มีทั้งการแทรกสอดแบบเสริมและการแทรกสอดแบบหักล้า การแทรกสอดแบบเสริมจะเกิดขึ้น เมื่อคลื่นของอิเล็กตรอนที่เคลื่อนที่มาแทรกสอดมีเฟสตรงกันหรือต่างกัน $2n\pi$ ซึ่งทำให้คลื่นนึงที่เกิดขึ้นมีแอมเพลิจูดที่สูงและสถานะของพลังงานใน QW มีค่าเพิ่มขึ้น ในการพิจารณาค่าความน่าจะเป็นของการส่งผ่าน (Transmission probability; T) ของอิเล็กตรอนในการเคลื่อนที่ผ่านบ่อศักย์ดังกล่าวพบว่า จะมีค่าดังสมการ

$$T = \left| \frac{4e^{iqL}kq}{(k+q)^2 - 4e^{i2qL}(k-q)^2} \right|^2 \quad (7)$$

เมื่อ k คือเลขค่าคลื่นของอิเล็กตรอนที่อยู่ภายในบ่อศักย์ โดย $k = \sqrt{2mE/\hbar^2}$ และ q คือเลขค่าคลื่นของอิเล็กตรอนที่เคลื่อนที่ผ่านออกจากบ่อศักย์ โดย $q = \sqrt{2m(E-V)/\hbar^2}$ (Mills & Bland, 2006, pp. 56-57) ปรากฏการณ์ของการเกิดคลื่นนิ่งเหนือนบ่อศักย์ เนื่องจากกระแสไฟฟ้าแบบเรซิโนนที่ทำให้ T มีค่าเท่ากับ 1 นั้น เรียกว่า การสั่นพ้อง (Resonance) ของบ่อศักย์แบบควบคุมต้ม ทราบดังกล่าวจะทำให้พลังงานโดยรวมใน QW มีค่าสูงที่สุด และเมื่อพิจารณาจากสมการที่ (7) พบว่า กรณีดังกล่าวจะทำให้เกิดขึ้นเมื่อ $2qL = 2n\pi$ หรือ $L = n\pi/q$ โดยสถานะของพลังงานของคลื่นนิ่ง อิเล็กตรอนที่เกิดขึ้นเหนือนบ่อศักย์ดังกล่าว จะมีค่าเท่ากับสถานะพลังงานของอิเล็กตรอนที่อยู่สูงถัดขึ้นมาจากการผูกมัด ยกตัวอย่างเช่น ในภาพที่ 3 สถานะพลังงานของคลื่นนิ่งอิเล็กตรอนที่เกิดจากการสั่นพ้องเหนือนบ่อศักย์จะมีค่าเท่ากับ E_6 เมื่อเปรียบเทียบกับพลังงานของอิเล็กตรอนที่อยู่กักอยู่ภายใน

2.2.2 อิทธิพลของทิศทางของสปินอิเล็กตรอนที่มีผลต่อการเคลื่อนที่ข้ามระหว่างชั้น

ฟิล์ม NM และ FM ของอิเล็กตรอน



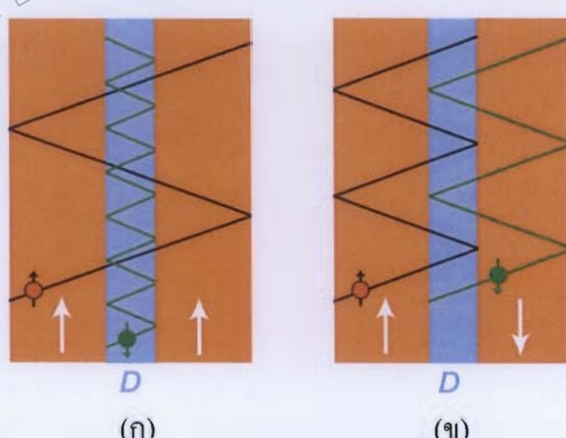
ภาพที่ 4 แสดงโครงสร้างของແບນພລັງຈານໃນໜັ້ນວັສຄູແບນ FM ແລະ NM (Kaiser, 2009, p. 16)

เมื่อพิจารณาโครงสร้างของແບນພລັງຈານ (Band structure) ຂອງວັສຄູແບນ NM ແລະ FM ໃນຝຶ່ມແບນຫລາຍໜັ້ນ FM/NM/FM ໂດຍທີ່ໜັ້ນ FM ກິ່ງສອງມີແນກນິໄຕເຊັ່ນວາງຕ້ວອງຢູ່ໃນທີ່ສະເໜີກັນ ແສດງດັ່ງການທີ່ 4 ພວ່າ ຄວາມໜ້າແນ່ນຂອງສະພລັງຈານ (Density of state; DOS) ຂອງ

อิเล็กตรอนที่มีสปินอัพ (Up) และสปินดาวน์ (Down) ในชั้นวัสดุ NM จะมีค่าเท่ากันทำให้แมgnite ใช้ชั้นโดยรวมมีค่าเป็นศูนย์ แต่ในชั้นวัสดุแบบ FM โดยเฉพาะในกลุ่มโลหะทราบซิชันพบว่า DOS ของอิเล็กตรอนที่มีสปินอัพ มีค่าสูงกว่าอิเล็กตรอนที่มีสปินดาวน์ ทำให้ชั้น FM ทั้งสองมีค่าแมgnite ไม่เท่ากัน โดยรวมที่ไม่เป็นศูนย์และมีทิศ Up ตามอิเล็กตรอนส่วนใหญ่ (Majority electron) ในชั้นวัสดุ FM ดังกล่าว สำหรับอิเล็กตรอนที่มีสปิน Down นั้น เนื่องจากมีจำนวนที่น้อยกว่าและมีทิศตรงกันข้ามกับอิเล็กตรอนส่วนใหญ่ จึงถูกเรียกว่า อิเล็กตรอนส่วนน้อย (Minority electron) ในชั้นวัสดุ NM นั้น อิเล็กตรอนจะถูกแบ่งออกเป็นสองประเภทเช่นกัน โดยพิจารณาจากทิศของสปินของ อิเล็กตรอนในชั้นวัสดุดังกล่าวเปรียบเทียบกับทิศของสปินอิเล็กตรอนในชั้นวัสดุ FM ที่มาประกอบ ติดกันทั้งสองชั้น เช่น อิเล็กตรอนในชั้นวัสดุ NM ที่มีสปินอัพ เช่นเดียวกับอิเล็กตรอนส่วนใหญ่ในชั้น FM จะถูกเรียกว่า อิเล็กตรอนส่วนใหญ่ และอิเล็กตรอนในชั้น NM ที่มีสปินดาวน์ จะถูกเรียกว่า อิเล็กตรอนส่วนน้อย เป็นต้น เนื่องจากโครงสร้างของเอนพลังงานของอิเล็กตรอนส่วนน้อยในชั้นวัสดุ NM และ FM มีความแตกต่างกัน ดังแสดงในภาพที่ 4 ทำให้อิเล็กตรอนส่วนน้อย (สปินดาวน์ อัพ) สามารถถือตัวได้เมื่อยื่นไปทางขวา ชั้นวัสดุทั้งสองชนิดได้ในขณะที่อิเล็กตรอนส่วนใหญ่ (สปิน ดาวน์) สามารถถือตัวได้เมื่อยื่นไปทางซ้าย โครงสร้างของเอนพลังงานมีลักษณะที่เหมือนกัน

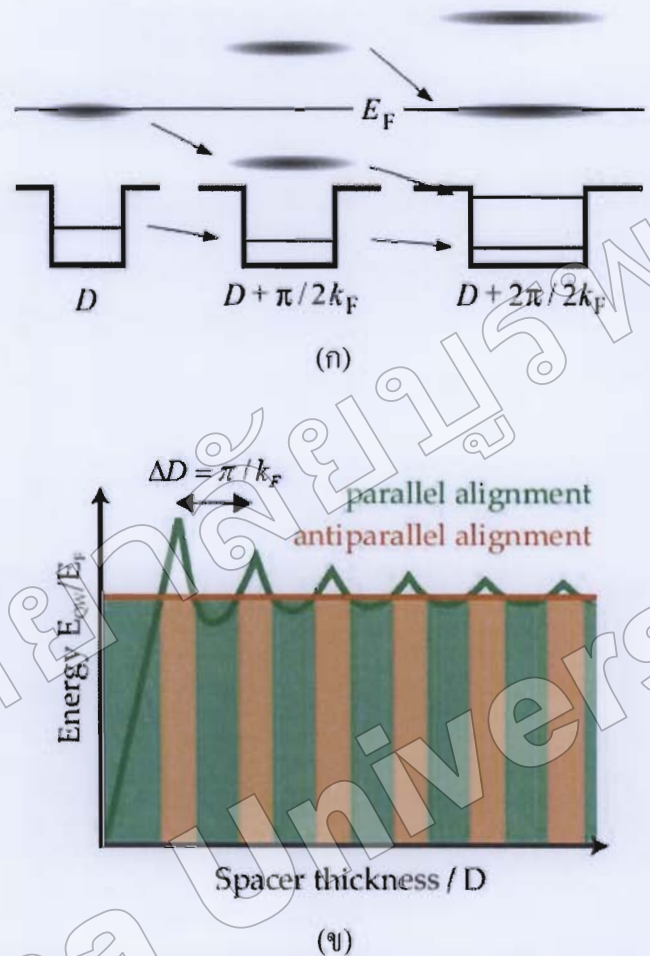
2.2.3 การเกิดอันตรกิริยาคู่ควนแม่เหล็กแบบเฟอร์โร และแบบแอนติเฟอร์โร ในฟิล์มแบบ หลายชั้น FM/NM/FM

Parallel alignment: Antiparallel alignment:



ภาพที่ 5 (ก) แสดงการเกิดอันตรกิริยาแบบ FC ในฟิล์มบางแบบ 3 ชั้น FM/NM/FM (ข) แสดงการเกิดอันตรกิริยาแบบ AFC ในฟิล์มบางแบบ 3 ชั้น FM/NM/FM (Bürgler, slide, 2007, p. 20)

อะตอนหรือโนเลกุลที่อยู่ใกล้เคียงกันในวัสดุที่มีสมบัติทางแม่เหล็กแบบเฟอร์โรนั้น จะพยากรณ์รักษาการวางแผนตัวของโนเมนต์แม่เหล็กให้อยู่ในทิศทางเดียวกัน เพื่อทำให้พลังงานของอันตรายชาที่เกิดขึ้นระหว่างโนเมนต์มีค่าที่ต่ำ (Kyselov, 2010, p. 13) ดังนั้นในสภาวะที่พลังงานของอิเล็กตรอนในชั้น NM ในฟิล์มนางแบบ 3 ชั้น FM/NM/FM มีค่าต่ำกว่าระดับพลังงานเฟอร์นิ (Fermi energy; E_F) นั้น แมgnิติเดชั้นของชั้น FM ทั้งสองจึงพยากรณ์ที่จะมีการวางแผนตัวอยู่ในทิศทางเดียวกัน เมื่อพิจารณาการเกิดอันตรายชาแบบ FC ในภาพที่ 5(ก) พบว่า อิเล็กตรอนส่วนใหญ่ในชั้น วัสดุ NM (สปินมีทิศเดียวกันกับแมgnิติเดชั้นของชั้น FM) จะเกิดกระแสเจ็ตต่ำเมื่อเคลื่อนไปยังรอบต่อระหว่างชั้น และสามารถเคลื่อนที่หลุดผ่านไปยังชั้น FM ทั้งสองได้ แต่สำหรับอิเล็กตรอนส่วนน้อยในชั้น NM (สปินมีทิศตรงกันข้ามกับแมgnิติเดชั้นของชั้น FM) นั้นพบว่า จะเกิดการกระแสเจ็ตที่สูงเมื่อเคลื่อนที่ไปยังบริเวณรอบต่อระหว่างชั้นฟิล์มและมีโอกาสในการหลุดผ่านเข้าไปในชั้น FM ได้น้อย โดยปรากฏการณ์ดังกล่าวสามารถอธิบายได้จากโครงสร้างของแบบพลังงานในภาพที่ 4 ซึ่งได้กล่าวไปก่อนหน้านี้ การที่อิเล็กตรอนส่วนน้อยถูกกักอยู่ในชั้นของ NM นั้น เปรียบได้กับอนุภาครูปแบบที่ถูกกักอยู่ในบ่อศักย์ และถ้าความหนาของชั้น NM (D) มีค่าใกล้เคียงกับ λ_{dB} ของอิเล็กตรอน จะทำให้พลังงานของอิเล็กตรอนถูกแบ่งออกเป็นระดับชั้น และเกิดปรากฏการณ์บ่อศักย์แบบควบคุมขึ้น โดยอิเล็กตรอนจะอยู่ในสถานะที่มีพลังงานได้ไม่เกินระดับพลังงานเฟอร์นิ สำหรับการเกิดอันตรายชาแบบ AFC ในภาพที่ 5(ข) นั้น แสดงให้เห็นว่า อิเล็กตรอนส่วนใหญ่และอิเล็กตรอนส่วนน้อยในชั้น NM จะไม่ถูกจำกัดการเคลื่อนที่ โดยสามารถเคลื่อนที่ไปยังชั้นวัสดุ FM ที่มีทิศของแมgnิติเดชั้นวางแผนตัวอยู่ในแนวเดียวกันกับทิศของสปินของอิเล็กตรอนได้ โดยสภาวะดังกล่าวจะมีพลังงานรวมของระบบที่ต่ำกว่าสภาวะของการเกิดอันตรายชาแบบ FC



ภาพที่ 6 (ก) แสดงการลดลงของ E_n และการสั่นพ้องของคลื่นอิเล็กตรอนที่ระดับ E_F เมื่อ D มีค่าเพียง $\frac{\pi}{k_F}$ (Stiles, 2002, p. 9)

(ข) แสดงการแปรผันของพลังงานรวมใน QW ตามความหนาของชั้น NM ที่เปลี่ยนแปลงไป (Kaiser, 2009, p. 17)

ค่าพลังงานรวมของบล็อกแบบความต้ม (E_{QW}) สามารถหาได้จากผลรวมของพลังงานของอิเล็กตรอนที่มีสถานะของพลังงานไม่เกินระดับ E_F ดังสมการ

$$E_{QW} = \sum_{n, E_n < E_F} E_n \quad (8)$$

เมื่อ E_n คือระดับชั้นพลังงานของอิเล็กตรอน (Kaiser, 2009, p. 15) ซึ่งสามารถหาได้จากการที่ (6) โดยที่ $L = D$ จะได้ว่า

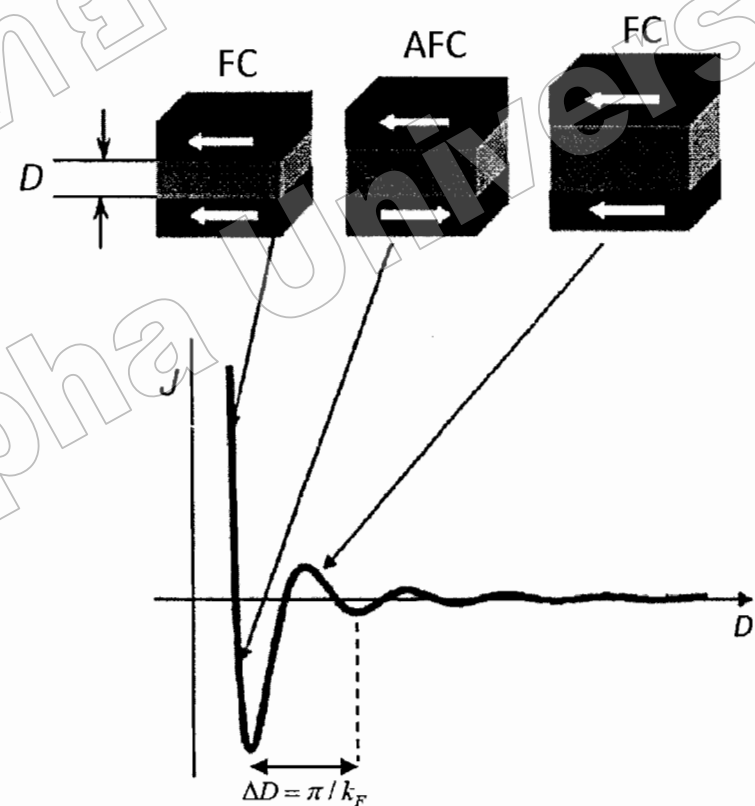
$$E_n = \frac{n^2 \pi^2 \hbar^2}{2m_e D^2} \quad (9)$$

จากสมการที่ (9) พบว่า ถ้าความหนาของชั้น NM มีค่าเพิ่มขึ้นจะทำให้ระดับพลังงานของอิเล็กตรอนมีค่าพลังงานลดลง และระดับชั้นพลังงานจะมีการเลื่อนตำแหน่งมาเข้าใกล้กันที่บริเวณก้นบ่อศักย์ ส่างผลให้ E_{QW} มีค่าลดลง แต่เมื่อค่า D เพิ่มขึ้นจนถึงค่าหนึ่ง จะมีระดับชั้นพลังงานใหม่ เคลื่อนลงมาอยู่ใกล้บริเวณ E_F และเกิดการสั่นพ้องของกลุ่มนิ่งอิเล็กตรอนชั้นที่ระดับชั้นพลังงานดังกล่าว ดังแสดงในภาพที่ 6 (ก) ส่างผลให้ E_{QW} มีค่าสูงขึ้นและมีค่าเกินระดับของ E_F โดยสภาวะดังกล่าวทำให้ระบบใน QW และลักษณะโครงสร้างทางอิเล็กตรอน (electronic structure) ของชั้น NM เกิดความไม่เสถียร ระบบใน QW จึงทำการหลักคันให้แมgnite เชชันของชั้นวัสดุ FM ทั้งสองมีทิศที่สวนทางกัน (เกิดอันตรกิริยาแบบ AFC) เพื่อลดพลังงานรวมของระบบที่เกิดขึ้น ดังแสดงในภาพที่ 5(ข) เมื่อเพิ่มความหนาของชั้น NM ให้สูงขึ้นจากเดิม จะทำให้สถานะของ QW มีพลังงานรวมที่ลดลง และถ้า E_{QW} มีค่าลดลงต่ำกว่าระดับ E_F ชั้นวัสดุ FM ทั้งสองจะกลับมามีแมgnite ให้เชชันที่ทางด้านซ้ายในทิศทางเดียวกันอีกรั้ง ต่อมามีเมื่อ D มีค่าเพิ่มขึ้นจากจุดที่มีการสั่นพ้องครั้งแรกเป็นระยะเท่ากับ π/k_F (เมื่อ k_F คือเลขค่านิ่งเฟอร์นิของอิเล็กตรอนในชั้นฟิล์ม NM) จะทำให้เกิดการสั่นพ้องที่ระดับ E_F และแมgnite ให้เชชันในชั้นวัสดุ FM ทั้งสองมีทิศที่สวนทางกันอีกรั้ง การสั่นพ้องใน QW ที่ระดับ E_F และการสลับทิศทางของแมgnite ให้เชชันในชั้น FM ดังกล่าว จะเกิดขึ้นในทุกๆ ช่วงของการเพิ่มขึ้นของ D เป็นระยะ π/k_F ทำให้อันตรกิริยาแบบ IEC ที่เกิดขึ้นมีการเปลี่ยนแปลงไปมาระหว่างอันตรกิริยาแบบ FC และ AFC ตามค่าความหนาของชั้น NM ที่เพิ่มขึ้น ดังแสดงในภาพที่ 6(ข). โดยสอดคล้องกับผลการศึกษาสถานะของพลังงานใน QW ที่เกิดขึ้นในฟิล์มบางแบบ 2 ชั้น FM/NM คัวยเทคนิค Photoemission ของ Ortega et al. (1993) ชี้งระบุได้ว่าพลังงานรวมของ QW จะมีค่าที่เปลี่ยนแปลงแบบกลับไปกลับมาบริเวณระดับชั้น E_F ตามการเพิ่มขึ้นของความหนาในชั้น NM นอกจากนี้ภาพที่ 6(ข) ยังมีการแสดงให้เห็นถึงแอนพลิจูดของการแกว่งของค่า E_{QW} ที่ลดลงตามระยะ D ที่เพิ่มขึ้น

ผลต่างระหว่างพลังงานรวมใน QW ที่สภาวะการเกิดอันตรกิริยาแบบ FC และ AFC นั้น จะถูกนิยามให้อยู่ในรูปของค่าคงที่ของความแรงคู่ J ของการเกิดอันตรกิริยา IEC โดยกรณีที่ $J > 0$ จะแสดงให้เห็นถึงสภาวะของการเกิดอันตรกิริยาแบบ FC และ $J < 0$ จะแสดงให้เห็นถึงสภาวะของการเกิดอันตรกิริยาแบบ AFC ในฟิล์มบางแบบหลายชั้น FM/NM/FM ตามลำดับ โดยจากเอกสารวิชาการของ Mills & Bland (2006, p.59) พบว่าค่า J ในแบบจำลองของอิเล็กตรอนอิสระใน 1 มิตินี้ สามารถหาได้จาก

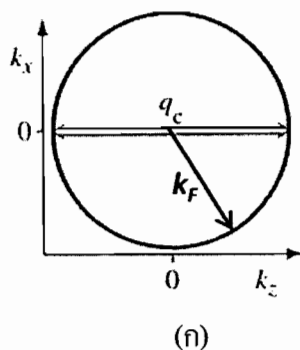
$$J \approx \frac{\hbar v_F}{2\pi D} |R_\uparrow - R_\downarrow|^2 \cos(2k_F D + \Phi) \quad (10)$$

เมื่อ v_F คือค่าความเร็วฟอร์มของอิเล็กตรอน ($v_F = \hbar k_F/m_e$), R_\uparrow และ R_\downarrow คือค่าแอนเพล็กซ์ของการสะท้อน (Reflection amplitude) ของอิเล็กตรอนส่วนในใหญ่ และอิเล็กตรอนส่วนน้อยที่บริเวณรอยต่อระหว่างชั้นฟิล์ม NM และ FM (ผนังของบ่อศักย์) ตามลำดับ, k_F คือเวลาเดอร์คลินของเฟอร์นิ และ Φ คือเฟสเริ่มต้นของการแก่วงของค่าพลังงาน QW 乍กสมการดังกล่าว พบร่วมว่า ค่า J จะมีขนาดที่แปรผันกับค่าความหนา D และมีการแก่วงตามช่วงการเพิ่มขึ้นของค่า D เป็นระยะ π/k_F โดยสังเกตได้จากการไฟภาพที่ 7 ซึ่งแสดงถึงการเปลี่ยนแปลงของ E_{QW} ที่เกิดการสั่นพ้องบริเวณระดับชั้น E_F ที่ใกล้กันนี้



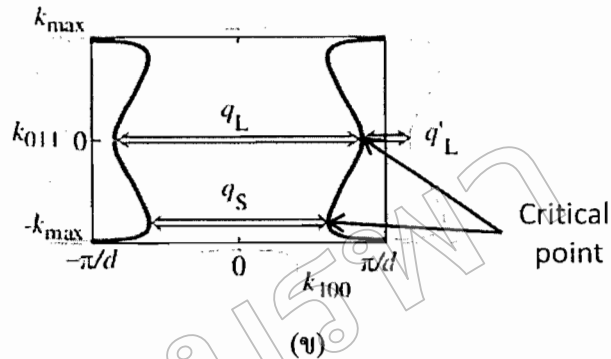
ภาพที่ 7 กราฟแสดงความสัมพันธ์ระหว่างค่าคงที่ของความแรงคู่คุ่ม และความหนาของชั้น NM
(Zabel, 2009, p. 543)

Free Electron Fermi Surface



(g)

Copper Fermi Surface



(h)

ภาพที่ 8 (ก) แสดงผิวเฟอร์นิของอิเล็กตรอนอิสระ เมื่อ q_c คือ critical spanning wave vector ของ อิเล็กตรอนอิสระ (ข) แสดงตัวอย่างผิวเฟอร์นิของทองแดง เมื่อ q_L และ q_S คือ critical spanning wave vector ช่วงยาว และช่วงสั้นของทองแดง ตามคำศัพด์ (Mills & Bland, 2006, p. 60)

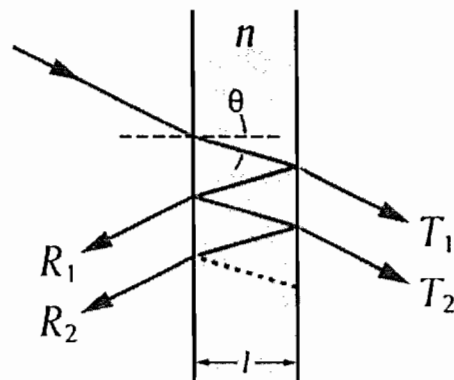
ทฤษฎีของการเกิดอันตรกิริยา IEC ในฟล์มแบบหลาชั้น FM/NM/FM ที่ได้กล่าวมาแล้ว เป็นการอธิบายโดยใช้แบบจำลองของอิเล็กตรอนอิสระในบ่อศักย์แบบควบคุมต้มที่มีการพิจารณาใน 1 มิติ โดยหลักการคังกล่าวเป็นความรู้พื้นฐานในการทำความเข้าใจปรากฏการณ์ของอันตรกิริยา IEC ที่เกิดขึ้น ซึ่งเพียงพอต่อการนำไปใช้ประโยชน์ในงานวิจัยนี้ สำหรับทฤษฎีของการพิจารณาในระบบ 3 มิติ และรายละเอียดเชิงลึกที่ไม่ได้นำมากล่าวในเอกสารงานวิจัยนี้ จะมีเนื้อหาที่ซับซ้อนมากขึ้น เนื่องจากชั้นวัสดุ NM ที่ใช้ในการทดลอง เช่น ทองแดงจะมีผิวเฟอร์นิ (Fermi surface) ที่มีรูปร่างเดกต่างจากผิวเฟอร์นิของอิเล็กตรอนอิสระ ซึ่งมีลักษณะเป็นทรงกลมที่มีรัศมี k_F ดังแสดงในภาพที่ 8 โดย Mills & Bland (2006, p. 60) ได้อธิบายถึงค่าคงที่ของความแรงคู่คุณที่เกิดขึ้น ว่า อยู่ในรูปของผลรวมของค่า J ในแต่ละจุดวิกฤต (Critical point; α) ของผิวเฟอร์นิในชั้นวัสดุ NM ดังสมการ

$$J = \sum_{\alpha} \frac{\hbar v_{\perp}^{\alpha} k^{\alpha}}{16\pi^2 D^2} \operatorname{Re} \left[(R_{\uparrow}^{\alpha} - R_{\downarrow}^{\alpha})^2 e^{iDq_{\perp}^{\alpha}} e^{i\chi^{\alpha}} \right] \quad (11)$$

เมื่อ q_{\perp}^{α} คือ องค์ประกอบของ critical spanning wave vector ที่อยู่ในแนวตั้งจากกับระนาบของแผ่นฟิล์ม, n_{\perp}^{α} คือ ความเร็วเฟอร์นิ, k^{α} คือ รัศมีความโค้งโดยเฉลี่ยของผิวเฟอร์นิ และ $e^{i\chi^{\alpha}}$ คือ ค่าของเฟสที่ขึ้นอยู่กับตำแหน่งของการแกะงของค่า J จากการพิจารณาสมการที่ (10) และ (11) ทำให้ทราบได้ว่าความหนาและลักษณะของผิวเฟอร์นิของชั้นวัสดุ NM เป็นปัจจัยสำคัญในการกำหนดชนิดของการเกิดอันตรภัย IEC ในฟิล์มบางแบบหลายชั้น FM/NM/FM สำหรับขนาดของค่า J นั้น จะขึ้นอยู่กับความหนาของชั้น NM และการสะท้อนของอิเล็กตรอนบริเวณรอยต่อระหว่างชั้น NM และ FM

2.2.4 อิทธิพลของความหนาของชั้น FM ที่มีผลต่อการเกิดอันตรภัยคู่ความแม่เหล็ก ในฟิล์มบางแบบหลายชั้น FM/NM/FM

เนื้อหาทางทฤษฎีของการเกิดอันตรภัย IEC ที่ได้กล่าวมาก่อนหน้านี้ ได้อธิบายถึงผลกระทบของการเปลี่ยนความหนา D ของชั้น NM ซึ่งเป็นปัจจัยสำคัญต่อพฤติกรรมของอันตรภัยแบบ IEC ที่เกิดขึ้นในฟิล์มแบบหลายชั้น FM/NM/FM สำหรับอิทธิพลของความหนาของชั้น FM นั้น จากรายงานของ Bruno (1993) พบว่า มีผลต่อการเกิดอันตรภัย IEC เช่นกัน โดยกล่าวว่า เมื่ออิเล็กตรอนในชั้น NM มีการเคลื่อนที่เข้าไปชนกับรอยต่อของชั้น FM ที่มีความหนา D_{FM} และเกิดการสะท้อนขึ้น จะมีคลื่นของอิเล็กตรอนบางส่วนถูกส่งผ่านไปยังชั้น FM ต่ำมากลืนอิเล็กตรอนที่ถูกส่งผ่านจะเคลื่อนที่ไปชนกับขอบอิเล็กเตอร์นั่นเองของชั้นวัสดุ FM ทำให้เกิดการสะท้อนอย่างต่อเนื่อง และเกิดการแทรกสอดของคลื่นอิเล็กตรอนภายในชั้นวัสดุดังกล่าว โดยปรากฏการณ์ที่เกิดขึ้นมีลักษณะคล้ายกับการแทรกสอดของคลื่นแสงแบบ Fabry-Pérot ในอุปกรณ์ Etalon ดังแสดงในภาพที่ 9



ภาพที่ 9 แสดงการแทรกสอดแบบ Fabry-Pérot ของคลื่นแสงในอุปกรณ์ Etalon (Wikimedia Foundation, Inc., 2001)

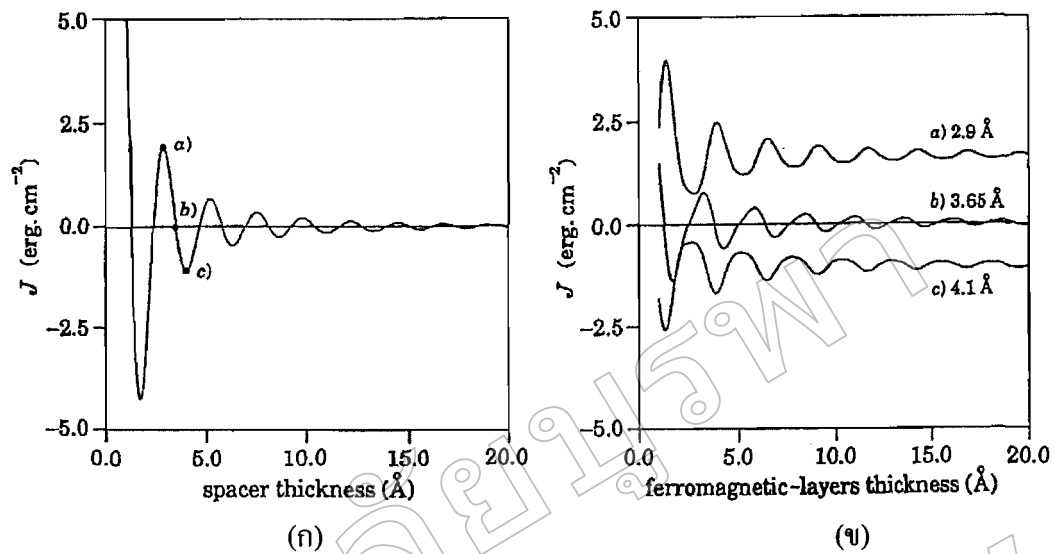
เมื่อค่าลี่นของอิเล็กตรอนถูกส่งผ่านกลับเข้ามาในชั้น NM อีกครั้ง (คล้ายกับการที่ค่าลี่นแสง R_1, R_2 ถูกส่งผ่านกลับออกมานอกจาก Etalon ที่เกิดขึ้นในภาพที่ 9 พบว่าค่าแอมเพลจูดของการสะท้อนโดยรวมของอิเล็กตรอนดังกล่าวจะมีความสัมพันธ์กับค่าความหนาของชั้น FM ดังสมการ

$$R_{\uparrow(\downarrow)} = R_{\uparrow(\downarrow)}^{\infty} \frac{1 - e^{iQ_{\uparrow(\downarrow)} D_{FM}}}{1 - R_{\uparrow(\downarrow)}^{\infty} e^{iQ_{\uparrow(\downarrow)} D_{FM}}} \quad (12)$$

เมื่อ $R_{\uparrow(\downarrow)}^{\infty}$ คือ แอมเพลจูดของการสะท้อนของอิเล็กตรอนส่วนใหญ่ (ส่วนน้อย) ที่เคลื่อนที่เข้าไป และกลับออกมานอกจากชั้นวัสดุ FM ที่มีความหนาถึงอนันต์ และ $Q_{\uparrow(\downarrow)} D_{FM}$ คือ ความต่างเฟสของค่าลี่นอิเล็กตรอนระหว่างก่อนการเคลื่อนที่เข้าไปในชั้น FM และหลังจากออกมานอกจากชั้นวัสดุดังกล่าว เมื่อนำแอมเพลจูดของการสะท้อนจากสมการที่ (12) ไปใช้ในการหาค่าคงที่ของความความแรงคู่ความของอันตรรศิยา IEC ในแบบจำลองของอิเล็กตรอนอิสระ (วิธีและขั้นตอนการคำนวณสามารถศึกษาได้จากเอกสารงานวิจัยของ Bruno (1993)) พบว่า J จะมีความสัมพันธ์กับค่าความหนาของชั้น NM และ FM ดังสมการ

$$J = \frac{1}{4\pi^2} \frac{\hbar^2}{2m} \operatorname{Im} \left\{ \frac{R_{\uparrow}^{\infty}}{2} e^{2ik_F D} \left[\frac{k_F^2}{D^2} - 2 \left(1 - R_{\uparrow}^{\infty} \right)^2 \left(\frac{D}{k_F} + \frac{D_{FM}}{k_F^{\downarrow}} \right)^{-2} e^{2ik_F^{\downarrow} D_{FM}} \right] \right\} \quad (13)$$

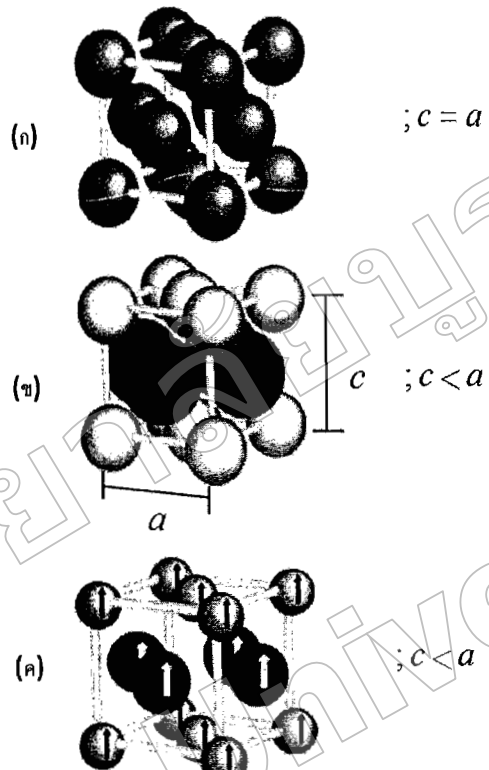
เมื่อ k_F คือ เวกเตอร์ค่าลี่นของอิเล็กตรอนที่อยู่ในชั้นวัสดุ NM และ k_F^{\downarrow} คือ เวกเตอร์ค่าลี่นของอิเล็กตรอนส่วนน้อยที่เคลื่อนที่เข้าไปในชั้นวัสดุ FM จากสมการที่ (13) พบว่าค่า J จะมีการเปลี่ยนแปลงแบบกลับไปกลับมาโดยมีค่าของการแกว่งเท่ากับ $\frac{\pi}{k_F}$ และ $\frac{\pi}{k_F^{\downarrow}}$ สำหรับฟังก์ชันของค่า D และ D_{FM} ตามลำดับ ขณะที่ขนาดของ J จะมีการแปรผันกับกำลังสองของค่า D และ D_{FM}



ภาพที่ 10 (ก) แสดงค่าคงที่ของความแรงคู่คุณของอันตรกิริยา IEC ที่มีการแปรผันตามความหนาของชั้น NM ในฟิล์มบาง FM/NM/FM โดยที่ชั้น FM มีความหนาถึงอนันต์ (ข) แสดงค่าคงที่ของความแรงคู่คุณของอันตรกิริยา IEC ที่มีการแปรผันตามความหนาของชั้น FM ในฟิล์มบาง FM/NM/FM โดยที่มีการทำหนดความหนาของชั้น NM ให้มีค่าเท่ากับ 2.90, 3.65 และ 4.10 \AA ตามลำดับ (Bruno, 1993, p. 618)

เมื่อนำสมการที่ (13) มาทำการคำนวณและจำลองความสัมพันธ์ระหว่าง J และ D พบว่า ผลการจำลองทางคณิตศาสตร์ที่แสดงในภาพที่ 10(ก) มีความสอดคล้องกับทฤษฎี QW ของ Stile ที่ได้กล่าวไปก่อนหน้านี้ ต่อมาเมื่อทำการกำหนดให้ D มีค่าคงที่เท่ากับ a) 2.90 \AA , b) 3.650 \AA และ c) 4.10 \AA และจำลองความสัมพันธ์ระหว่าง J และ D_{FM} โดยแสดงดังภาพที่ 10(ข) พบว่า $J(D_{FM})$ จะมีการแกว่งเป็นฟังก์ชัน Sinusoid ของค่า D_{FM} และมีขนาดที่ลดลงเมื่อ D_{FM} มีค่าเพิ่มขึ้น โดยค่า $J(D_{FM})$ ดังกล่าวจะมีการเปลี่ยนแปลงแบบกลับไปกลับมารอบค่า $J(D)$ ในภาพที่ 10(ก) ที่ตำแหน่งของ $J(2.9\text{\AA})$, $J(3.65\text{\AA})$ และ $J(4.10\text{\AA})$ ตามลำดับ ผลการจำลองทางคณิตศาสตร์ในภาพที่ 10(ก) นั้นแสดงให้เห็นถึงความจำเป็นในการกำหนดความหนาของชั้น NM ที่เหมาะสม สำหรับการทดลองเพื่อศึกษาอิทธิพลของความหนาของชั้น FM ที่มีต่ออันตรกิริยา IEC ในฟิล์มแบบหลายชั้น FM/NM/FM เนื่องจากค่า D เป็นองค์ประกอบที่สำคัญในการกำหนดค่าสูงสุดและค่าต่ำสุดของ $J(D_{FM})$

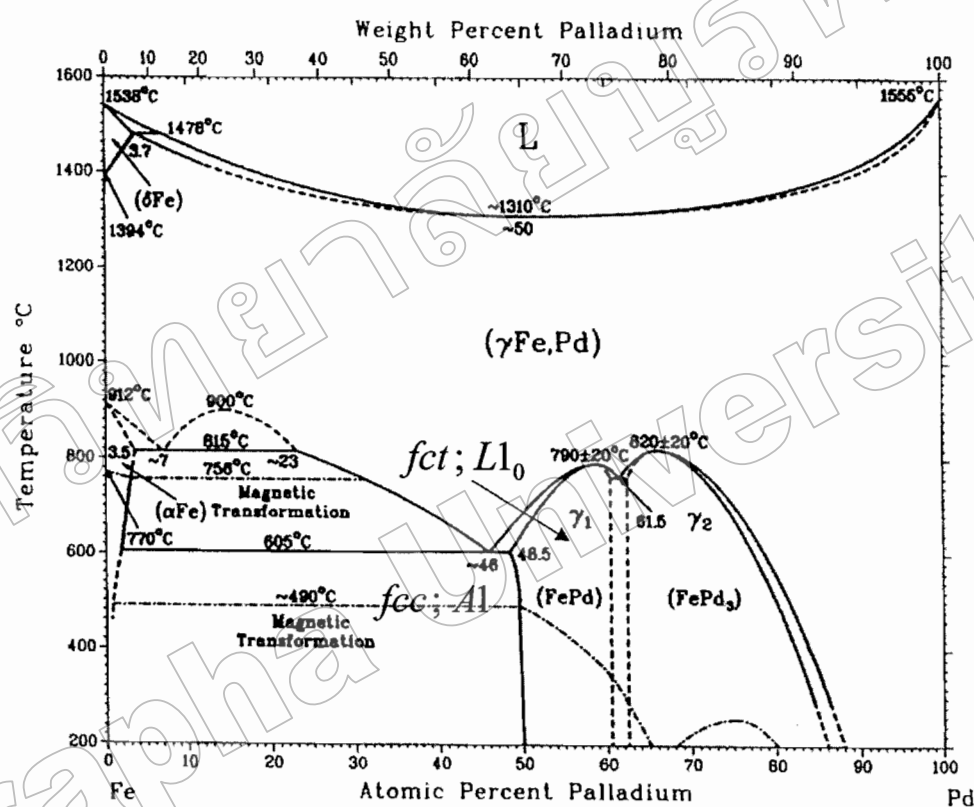
2.3 โลหะผสม FePd



ภาพที่ 11 (ก) แสดงลักษณะทางโครงสร้างของหน่วยเซลล์ (Unit cell) ที่มีโครงสร้างแบบ A1 (ข) แสดงลักษณะทางโครงสร้างของหน่วยเซลล์ที่มีโครงสร้างแบบ $L1_0$ (ค) แสดงการวางตัวของแมgnิติเดชันของอะตอมในหน่วยเซลล์ที่มีโครงสร้างแบบ $L1_0$ ซึ่งมีสมบัติทางแม่เหล็กแบบเฟอร์โร (Laughlin, Srinivasan, Tanase, & Wang, 2005, pp. 384-386)

กลุ่มโลหะผสมที่มีโครงสร้างแบบ $L1_0$ ได้แก่ FePt, FePd, CoPt เป็นกลุ่มวัสดุที่ได้รับความสนใจเป็นอย่างมาก เนื่องจากโลหะผสมกลุ่มนี้มีค่า K_u สูง ($\sim 10^6$ - 10^7 J/m³) (Klemmer, Hoydick, Okumura, Zhang, & Soffa, 1995, p. 1793) ทำให้สามารถลดปริมาตรของเกรน V ในวัสดุกลุ่มนี้ลงได้มาก โดยที่ยังไม่ก่อให้เกิดสภาพอาซูปเปอร์พาราแมกเนติก ส่งผลให้มีการวิจัยค้นคว้าเกี่ยวกับโลหะผสมกลุ่มนี้กันอย่างกว้างขวาง โดยเฉพาะในด้านการนำไปใช้เป็นชั้นล็อบบันทึกข้อมูลชนิดแม่เหล็กที่มีความจุสูง ที่สภาวะการเตรียมที่อุณหภูมิห้อง โลหะผสมกลุ่มนี้จะมีโครงสร้างแบบ

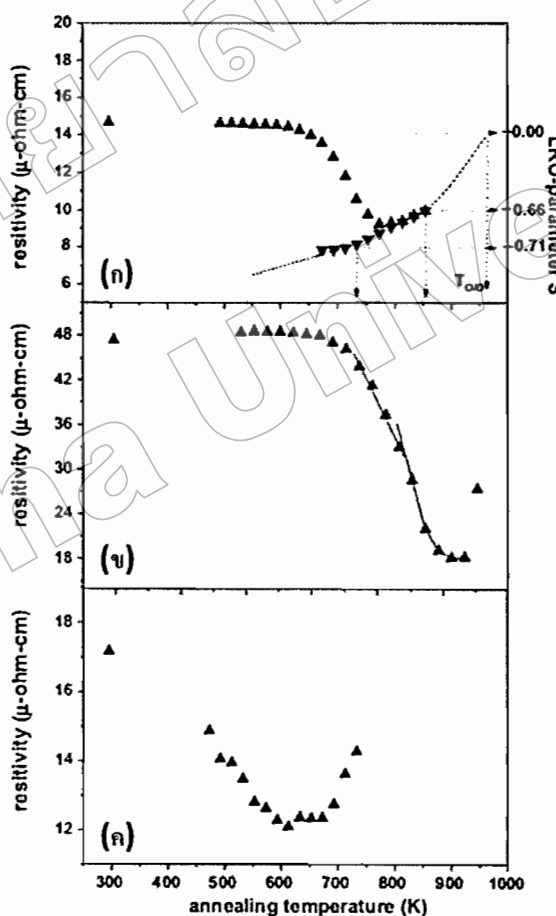
A1 ซึ่งเป็นโครงสร้างที่มีการจัดเรียงตัวของอะตอมที่ไม่เป็นระเบียบและมีสมบัติทางแม่เหล็กแบบเฟอร์โรชนิกอ่อน แต่เมื่อได้รับพลังงานความร้อนจนถึงอุณหภูมิวิกฤติจะเกิดการเปลี่ยนแปลงทางโครงสร้างไปเป็นโครงสร้างแบบ L_1_0 ซึ่งเป็นโครงสร้างที่มีการจัดเรียงตัวของอะตอมอย่างเป็นระเบียบ มีรูปแบบการวางตัวของอะตอมที่แน่นอนและมีสมบัติทางแม่เหล็กแบบเฟอร์โรชนิกแข็ง ซึ่งรูปแบบทางโครงสร้างของโลหะผสมกลุ่มดังกล่าวแสดงดังภาพที่ 11



ภาพที่ 12 แสดงเฟสไซโคละแกรมของ FePd (Cohen-Karni, Vlassak, & Sugimura, 2003, p. 4)

เมื่อพิจารณาจากภาพที่ 11(ก) และ 11(ข) พบว่าในโครงสร้างแบบ A1 ของกลุ่มโลหะผสมดังกล่าว จะมีแกน c ยาวเท่ากับแกน a แต่เมื่อมีการเปลี่ยนแปลงโครงสร้างไปเป็น L_1_0 จะมีแกน c ที่หดสั้นลง โดยการหดสั้นลงดังกล่าวส่งผลให้แกน c เป็นแกนง่าย (Easy axis) ต่อการวางตัวของแมgnetiคเซชัน ทำให้โลหะผสมกลุ่มนี้มีสมบัติทางแม่เหล็กแบบเฟอร์โรชนิกแข็ง ซึ่งสามารถสังเกตได้จากทิศทางของแมgnetiคเซชันในภาพที่ 11(ก) และเมื่อพิจารณาจากเฟสไซโคละแกรมของโลหะผสม FePd จากงานวิจัยของ Cohen-Karni et al. (2003, p. 4) ดังแสดงในภาพที่ 12 พบว่า FePd ที่มีสัดส่วนของอะตอม 50:50 จะมีอุณหภูมิที่ใช้ในการเปลี่ยนแปลงทางโครงสร้างจาก A1 ไปเป็น

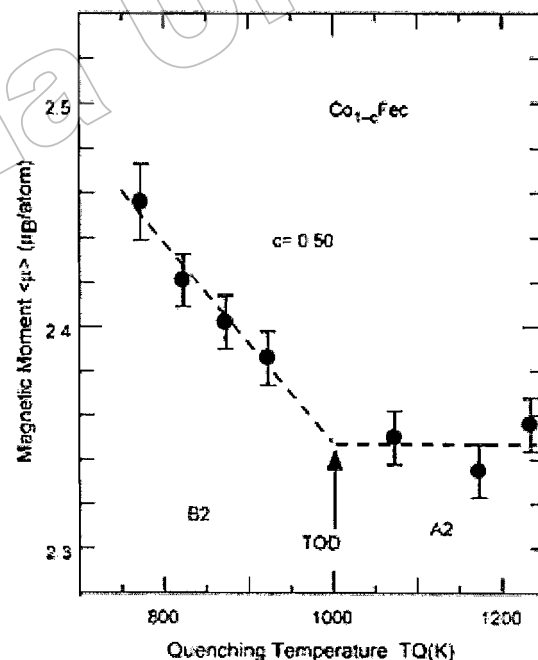
$L1_0$ อุ่นที่ประมาณ $400 - 500\text{ }^{\circ}\text{C}$ ซึ่งจะต่ำกว่าอุณหภูมิในโลหะผสมของ FePt และ CoPt ส่งผลให้ FePd เป็นที่น่าสนใจในการนำไปใช้เป็นวัสดุตัวอย่างในการศึกษาพฤติกรรมของการเปลี่ยนแปลงทางโครงสร้างและการจัดระเบียบของอะตอมในกลุ่มโลหะผสมแบบ $L1_0$ กันอย่างแพร่หลาย เช่น การศึกษาการจัดระเบียบของอะตอมในโลหะผสม FePd ด้วยการวัดสภาพต้านทานไฟฟ้าตอกค้างในงานวิจัยของ Issro et al. (2005) ซึ่งได้ทำการวัดค่า REST ของโลหะผสม FePd ที่ผ่านกระบวนการให้ความร้อนแบบไอโซโกรนัล ($\Delta T = 20\text{ K}$, $\Delta t = 1200\text{ s}$) ในชั้นงานตัวอย่าง 3 ชนิด คือ แผ่นฟอยล์บาง FePd ที่มีโครงสร้างแบบพหุผลึก (Polycrystal), ฟิล์มนบาง FePd ที่มีโครงสร้างแบบพหุผลึก และฟิล์มนบาง FePd ที่มีโครงสร้างแบบผลึกเดียว (Single crystal) ดังแสดงในภาพที่ 13



ภาพที่ 13 แสดงสภาพต้านทานไฟฟ้าตอกค้างที่มีการเปลี่ยนแปลงตามอุณหภูมิที่ใช้ในการอบความร้อนของ (ก) แผ่นฟอยล์ FePd ที่มีโครงสร้างแบบพหุผลึก (ข) ฟิล์มนบาง FePd ที่มีโครงสร้างแบบพหุผลึก (ค) ฟิล์มนบาง FePd ที่มีโครงสร้างแบบผลึกเดียว (Issro et al., 2005, p. 449)

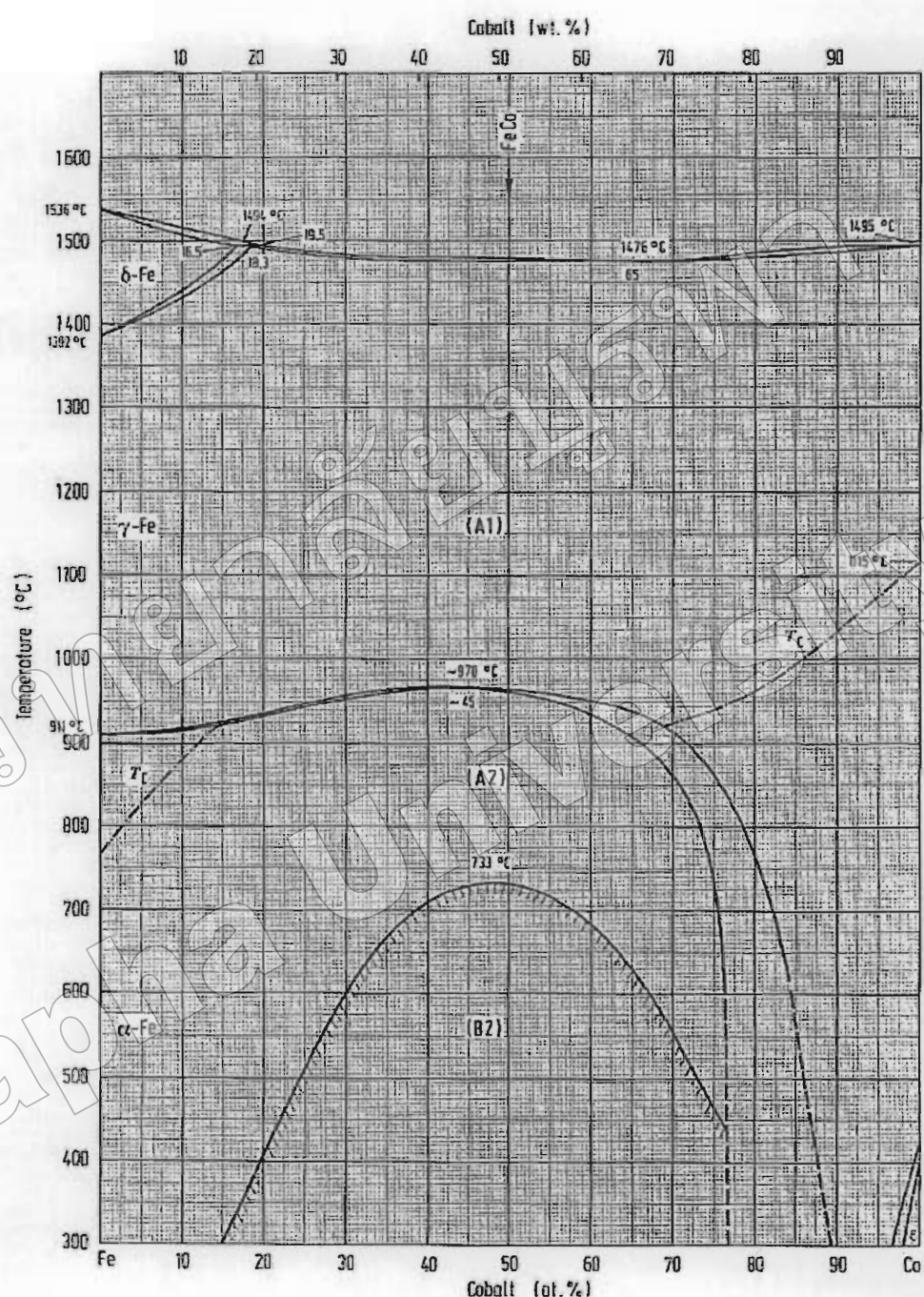
จากการทดลองพบว่าค่า REST ของชิ้นงานตัวอย่างทั้งสามจะลดลงตามอุณหภูมิของการอบความร้อนที่สูงขึ้น โดยเกิดจากการที่พลังงานความร้อนไปกระตุ้นให้อะตอมของ Fe และ Pd มีการเคลื่อนที่เพื่อลดความบกพร่อง (Defect recovery) และทำให้เกิดการจัดวางตัวของอะตอมที่เป็นระเบียบในโครงสร้างของโลหะผสมดังกล่าว ค่า REST (ρ_0) ที่วัดได้จากวัสดุตัวอย่างจะมีความสัมพันธ์กับค่าระดับของการเกิดระเบียบช่วงยาวของอะตอม (Degree of long-range order; S) อยู่ในรูปของ $\rho_0 \propto (1 - S^2)$ การเคลื่อนที่ของอะตอมดังกล่าวส่งผลให้ FePd มีการเปลี่ยนแปลงทางโครงสร้างจากโครงสร้างแบบ A1 ไปเป็น L1₀ และมีสมบัติทางแม่เหล็กแบบเฟอร์โรที่สูงขึ้น เมื่อการจัดระเบียบของอะตอมในโลหะผสม FePd ดำเนินมาถึงจุดที่มีการเกิดระเบียบได้มากที่สุด REST ของชิ้นงานตัวอย่างทั้งสามจะมีค่าต่ำสุด ถ้าทำการอบความร้อนต่อไปจนมีอุณหภูมิที่สูงกว่า อุณหภูมิวิกฤติ พบว่า REST จะมีค่าเพิ่มขึ้น เนื่องจากอะตอมของ Fe และ Pd มีการจัดเรียงตัวที่เป็นระเบียบลดลง ซึ่งนำไปสู่การเกิดระเบียบช่วงสั้น (Short-range order) และการเกิดความไม่เป็นระเบียบ (Disorder) ของการจัดเรียงตัวของอะตอมในโลหะผสม FePd

2.4 โลหะผสม CoFe



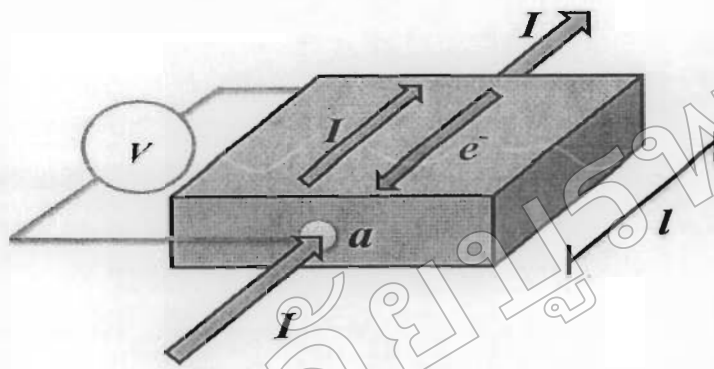
ภาพที่ 14 แสดงการเปลี่ยนแปลงของโมเมนต์แม่เหล็กที่เป็นพังก์ชันกับอุณหภูมิของการอบความร้อนใน Co₅₀Fe₅₀ (Kogachi et al., 2005, p. 538)

โลหะผสม CoFe ที่มีสัดส่วนของอะตอมอยู่ที่ 50:50 และถูกเตรียมที่สภาวะอุณหภูมิห้องนั้นพบว่าเป็นวัสดุแม่เหล็กเพอร์โตรช์จะมีโครงสร้างแบบ B2 (โครงร่างผลึกแบบ bcc ที่มีการจัดเรียงตัวของอะตอมที่เป็นระเบียบ) และเมื่อให้ความร้อนไปจนถึงอุณหภูมิค่าหนึ่งจะทำให้ความเป็นระเบียบของการจัดเรียงของอะตอมลดลงและเกิดการเปลี่ยนแปลงทางโครงสร้างไปเป็นแบบ A2 (โครงร่างผลึกแบบ bcc ที่มีการจัดเรียงของอะตอมอย่างไม่เป็นระเบียบ) การที่ CoFe มีความเป็นระเบียบทางโครงสร้างที่ลดลงนั้นพบว่าเกิดผลกระทบต่อสมบัติทางแม่เหล็กโดยในงานวิจัยของ Kogashi et al. (2005) ได้แสดงให้เห็นถึงการลดลงของโนเมนต์แม่เหล็กใน $\text{Co}_{50}\text{Fe}_{50}$ เนื่องจากการเปลี่ยนแปลงทางโครงสร้างจาก B2 ไปเป็น A2 ด้วยการให้ความร้อน ดังแสดงในภาพที่ 14 และจากเพสไดอะแกรมของโลหะผสมในเอกสารของ Kubaschewski (1982, p. 28) ซึ่งได้แสดงในภาพที่ 15 พบว่า $\text{Co}_{50}\text{Fe}_{50}$ จะมีการเปลี่ยนแปลงทางโครงสร้างจาก B2 ไปเป็น A2 เมื่อมีการให้ความร้อนไปที่อุณหภูมิประมาณ 730°C ซึ่งสูงกว่าอุณหภูมิที่ใช้ในการเปลี่ยนแปลงทางโครงสร้างของ FePd ทำให้เหมาะสมต่อการนำโลหะผสม $\text{Co}_{50}\text{Fe}_{50}$ ที่มีสภาวะการเตรียมที่อุณหภูมิห้องมาใช้เป็นชั้น FM คู่กับ FePd ในฟิล์มบางแบบ 3 ชั้น FePd/Ru/CoFe เพื่อศึกษาอิทธิพลของการเปลี่ยนแปลงทางโครงสร้างของ FePd ที่มีผลต่ออันตรกิริยาแบบ AFC ที่เกิดขึ้น



ภาพที่ 15 แสดงเฟสไดอะแกรมของ CoFe (Kubaschewski, 1982, p. 28)

2.5 สภาพด้านทานไฟฟ้า

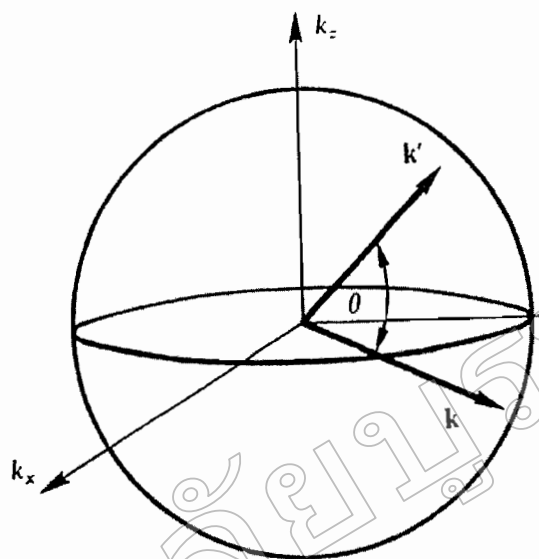


ภาพที่ 16 แสดงการหาค่าสภาพด้านทานไฟฟ้าในวัสดุของเม็ดที่มีพื้นที่หน้าตัด a และมีความยาว l

การหาสภาพด้านทานไฟฟ้า (ρ) ในวัสดุของเม็ดที่มีพื้นที่หน้าตัด a และมีความยาว l นั้น สามารถทำได้โดยการผ่านกระแสไฟฟ้า (I) เข้าไปปัจจุบันด้วยวัสดุตัวอย่าง และทำการวัดความต่างศักย์ไฟฟ้า (V) ระหว่างจุดสองจุดที่กระแสไฟฟ้าไหลเข้าและออกจากตัวอย่างดังแสดงในภาพที่ 16 เพื่อที่จะทำการคำนวณหาค่า ρ ดังสมการ

$$\rho = \frac{V}{I} \cdot \frac{a}{l} = R \cdot \frac{a}{l} \quad (14)$$

สภาพด้านทานไฟฟ้าเป็นปริมาณที่บ่งบอกถึงความยากง่ายในการเคลื่อนที่ของอิเล็กตรอนตัวนำ (Conduction electron) ที่ผ่านเข้าไปในวัสดุใด ๆ ซึ่งจะไม่มีข้อกับขนาดหรือปริมาณของวัสดุนั้น เมื่ออิเล็กตรอนตัวนำไหลผ่านเข้าไปปัจจุบันด้วยตัวอย่างแล้วเกิดการกระเจิง (Scattering) โดยอาจมีสาเหตุจากความไม่สมบูรณ์หรือความไม่บริสุทธิ์ (Impurity) ของเนื้อสารภายในวัสดุตัวอย่าง หรือผลจากปฏิกิริยาของเช่น การเกิดโฟโนน (Phonon) ของอนุภาคในวัสดุเนื่องจากผลของการร้อนทำให้อิเล็กตรอนเกิดการเปลี่ยนแปลงสถานะ จากสถานะเริ่มต้นที่มีเวกเตอร์คลื่น (wave vector) \vec{k} ไปเป็นสถานะที่มีเวกเตอร์คลื่น \vec{k}' ดังแสดงใน k-space ในภาพที่ 17



ภาพที่ 17 แสดงการกระเจิงของอิเล็กตรอนตัวนำและเกิดการเปลี่ยนสถานะจาก \vec{k} เป็น \vec{k}' ใน k -space (Rossiter, 1987, p. 2)

เวลาที่ใช้ในการกระเจิงหรือการเปลี่ยนสถานะของอิเล็กตรอนเรียกว่า relaxation time (τ) และเมื่อพิจารณา Drude formula (Rossiter, 1987, p. 4) พบร่วมสัมพันธ์ระหว่างการกระเจิงของอิเล็กตรอนและค่าสภาพด้านทานไฟฟ้าในวัสดุตัวอย่าง แสดงอยู่ในรูปของ

$$\rho = \frac{m_e}{ne^2\tau} \quad (15)$$

เมื่อก็อใจจำนวนของอิเล็กตรอนต่อหนึ่งหน่วยปริมาตรของวัสดุตัวอย่าง, m_e และ e คือมวลและประจุไฟฟ้าของอิเล็กตรอน ตามลำดับ

2.5.1 กฎของแมทเทียสเซ่น (Matthiessen's rule)

กฎของแมทเทียสเซ่น (Rossiter, 1987, pp. 9-10) ได้อธิบายถึงสภาพด้านทานไฟฟ้าของโลหะผสมประเภทต่าง ๆ ไว้ 3 ประเภทด้วยกัน คือ โลหะผสมแบบเจือจาง (Dilute alloy), โลหะผสมแบบเข้มข้น (Concentrated alloy) และ โลหะผสมที่มีสมบัติทางแม่เหล็ก (Magnetic alloy) โดยค่าสภาพด้านทานไฟฟ้าในโลหะผสมแบบเจือจางที่วัดได้ ณ สถานะอุณหภูมิ T ประกอบไปด้วย 2 องค์ประกอบที่สำคัญคือสมการ

$$\rho_{tot}(T) = \rho_0 + \rho_h(T) \quad (16)$$

เมื่อ ρ_0 เป็นค่าสภาพด้านทานไฟฟ้าต่อก้างซึ่งเกิดจากการที่อิเล็กตรอนตัวนำที่จ่ายเข้าไปในชิ้นงาน เกิดการกระเจิง เนื่องจากความไม่บริสุทธิ์ของเนื้อสารในชิ้นงาน โดยค่าดังกล่าวจะไม่ขึ้นกับสภาพอุณหภูมิ และ $\rho_h(T)$ คือ ค่าสภาพด้านทานไฟฟ้าของเนื้อสาร โลหะบริสุทธิ์ในชิ้นงานที่วัดได้ ณ สภาวะอุณหภูมิ T ในส่วนของโลหะผสมแบบเข้มข้นนั้นจะมีค่าสภาพด้านทานไฟฟ้าอยู่ในรูปของ

$$\rho_{tot}(T) = \rho_0 + \rho_p(T) \quad (17)$$

เมื่อ ρ_0 คือ ค่าสภาพด้านทานไฟฟ้าต่อก้างที่เกิดจากการที่อิเล็กตรอนตัวนำมีการกระเจิง เนื่องจาก การจัดเรียงตัวของอะตอมที่ไม่เป็นระเบียบในโครงสร้างผลึกของชิ้นงาน ซึ่งจะไม่ขึ้นกับอุณหภูมิ T ในขณะที่ทำการวัด แต่จะมีค่าเปรียบตามอุณหภูมิของพลังงานความร้อนที่ใช้ในการเปลี่ยนแปลง ความเป็นระเบียบของอะตอมในชิ้นงาน (Quench temperature; T_q) และ $\rho_p(T)$ คือค่าสภาพ ด้านทานไฟฟ้าซึ่งเกิดจากการที่อิเล็กตรอนตัวนำเกิดการกระเจิงเนื่องจากปรากฏการผ่านไฟฟ้าที่เกิดขึ้น โดยจะมีการแปรผันตามสภาพของอุณหภูมิในขณะที่ทำการวัด สำหรับโลหะผสมที่มี สมบัติทางแม่เหล็กนั้น จะมีองค์ประกอบของค่าสภาพด้านทานไฟฟ้าที่ขึ้นอยู่กับการจัดเรียงตัวของ สpin ในชิ้นงานมาเกี่ยวข้องดังความสัมพันธ์

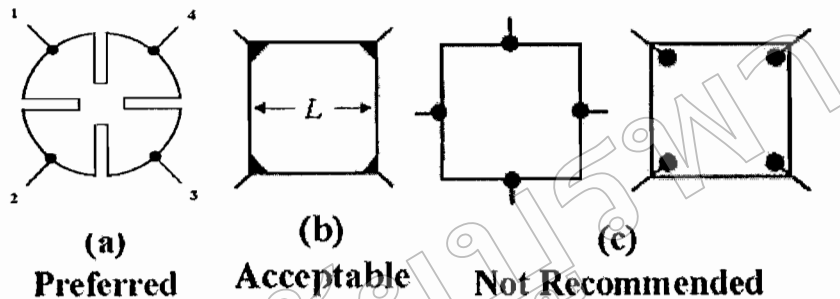
$$\rho_{tot}(T_m) = \rho_0 + \rho_p(T) + \rho_m(T) \quad (18)$$

เมื่อ $\rho_m(T)$ คือ ค่าสภาพด้านทานไฟฟ้าที่เกิดจากการกระเจิงของอิเล็กตรอนตัวนำเนื่องจากการ วางตัวที่ไม่เป็นระเบียบของสpin อิเล็กตรอนในชิ้นงานเนื่องจากสภาพอุณหภูมิ T ในขณะที่ทำการ วัด

2.5.2 เทคนิคการวัดสภาพด้านทานไฟฟ้าแบบวนเดอพาว (Van der Pauw method)

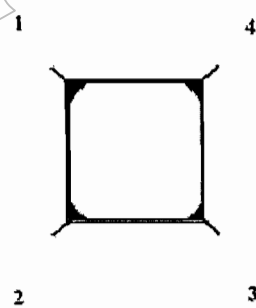
เทคนิคการวัดสภาพด้านทานไฟฟ้าแบบวนเดอพาวเป็นที่นิยมใช้กันอย่างกว้างขวาง ในอุตสาหกรรมสารกึ่งตัวนำเพื่อใช้หาค่าสภาพด้านทานไฟฟ้าของวัสดุตัวอย่าง เทคนิคนี้ถูกคิดค้น ขึ้นโดย L. J. Van der Pauw ซึ่งสามารถใช้วัดสภาพด้านทานไฟฟ้าของวัสดุที่มีความบาง เช่น ฟิล์ม บาง ได้เป็นอย่างดี ไม่ว่าวัสดุดังกล่าวจะมีลักษณะรูปร่างที่สมมาตรหรือไม่สมมาตรก็ตาม แต่ วัสดุตัวอย่างที่จะใช้เทคนิคการวัดสภาพด้านทานไฟฟ้าแบบวนเดอพาวต้องมีความหนาที่น้อย และก่อนที่จะทำการวัดนั้น ต้องมีการเชื่อมต่อจุดตัวนำขึ้นที่บริเวณขอบของแผ่นวัสดุตัวอย่าง

ทั้งหมด 4 จุด โดยจากบทความของ Gutierrez, Haiyong, and Patton (2002, p. 8) ได้แสดงรูปแบบของการเชื่อมต่อจุดตัวนำลักษณะต่าง ๆ ไว้ดังภาพที่ 18



ภาพที่ 18 แสดงการเชื่อมต่อจุดตัวนำแบบต่าง ๆ สำหรับเทคนิคการวัดสภาพต้านไฟฟ้าแบบวนเดอพาว (Gutierrez et al., 2002, p. 8)

การวัดจะมีประสิทธิภาพสูงหากขนาดของจุดเชื่อมต่อ และความหนาของแผ่นตัวอย่างมีค่าน้อยมาก เมื่อเปรียบเทียบกับขนาดพื้นที่ของแผ่นตัวอย่าง สารที่ถูกนำมาใช้สร้างจุดเชื่อมต่อทั้งสี่จุดและวัสดุที่ใช้เป็นจุดตัวนำต้องเป็นสารที่ได้รับผลกระทบจาก Thermoelectric น้อย ซึ่งวัสดุที่ควรจะเป็นสารชนิดเดียวกันกับแผ่นตัวอย่าง



ภาพที่ 19 แสดงการเชื่อมต่อจุดตัวนำของชิ้นงานที่มีลักษณะเป็นสี่เหลี่ยมนูนๆ (Gutierrez et al., 2002, p. 8)

การวัดความต้านทานไฟฟ้าของแผ่นตัวอย่างที่มีลักษณะเป็นสี่เหลี่ยมนูนๆ แสดงดังภาพที่ 19 นั้น จะมีการผ่านกระแสไฟฟ้าไปที่ค้านหนึ่งของแผ่นตัวอย่าง โดยที่ขนาดของกระแสไฟฟ้าจะต้องไม่ทำให้กำลังไฟฟ้าในชิ้นงานตัวอย่างเกิน 5 mW (Gutierrez et al., 2002,

p. 10) แล้วทำการวัดความต่างศักย์ของแผ่นฟิล์มจากด้านตรงข้าม เพื่อใช้คำนวณหาค่าความต้านทานไฟฟ้าตามกฎของโอลิม เช่น ผ่านกระแสไฟฟ้าเข้าไปที่ด้าน 21 (I_{21}) แล้ววัดความต่างศักย์คร่อมด้าน 34 (V_{34}) แล้วคำนวณหาค่าความต้านทานของแผ่นตัวอย่างจากการ

$$R_{21,34} = \frac{V_{34}}{I_{21}}$$

และหากผ่านกระแสไฟฟ้าไปที่ด้าน 43 (I_{43}) แล้ววัดความต่างศักย์ที่ด้าน 12 (V_{12}) จะสามารถคำนวณหาความต้านทานของแผ่นตัวอย่างได้จาก

$$R_{43,12} = \frac{V_{12}}{I_{43}}$$

$R_{21,34}$ และ $R_{43,12}$ ที่คำนวณได้นั้นเป็นความต้านทานไฟฟ้าของแผ่นตัวอย่าง โดยอาศัยการวัดจากการผ่านกระแสไฟฟ้าเข้าไปในแนวตั้งของแผ่นตัวอย่างในภาพที่ 19 และในทำนองเดียวกันเราสามารถหาค่าความต้านทานไฟฟ้าจากการผ่านกระแสไฟฟ้าไปในแนววางของแผ่นตัวอย่างได้ดังนี้

$$R_{32,41} = \frac{V_{41}}{I_{32}} \quad \text{และ} \quad R_{14,23} = \frac{V_{23}}{I_{14}}$$

ถ้ากลับทิศทางการจ่ายกระแสไฟฟ้าทั้งในแนวตั้งและในแนววางเราสามารถหาค่าความต้านทานไฟฟ้าของแผ่นตัวอย่างได้จาก

$$R_{12,43} = \frac{V_{43}}{I_{12}} \quad \text{และ} \quad R_{34,21} = \frac{V_{21}}{I_{34}} \quad (\text{กลับทิศทางการจ่ายกระแสในแนวตั้ง})$$

$$R_{23,14} = \frac{V_{14}}{I_{23}} \quad \text{และ} \quad R_{41,32} = \frac{V_{32}}{I_{41}} \quad (\text{กลับทิศทางการจ่ายกระแสในแนววาง})$$

กำหนดให้ค่าเฉลี่ยของความต้านทานไฟฟ้าที่หาได้จากการผ่านกระแสไฟฟ้าเข้าไปในแนวตั้งของแผ่นตัวอย่างเป็น R_v และค่าเฉลี่ยของความต้านทานไฟฟ้าที่หาได้จากการผ่าน

กระแสไฟฟ้าเข้าไปในแนววางของแผ่นตัวอย่างเป็น R_h โดยที่สามารถคำนวณหาค่าห้องส่องได้จาก

$$R_v = \frac{R_{21,34} + R_{43,12} + R_{12,43} + R_{34,21}}{4} \quad (19)$$

และ

$$R_h = \frac{R_{32,41} + R_{14,23} + R_{23,14} + R_{41,32}}{4} \quad (20)$$

โดยที่ R_v และ R_h เป็นค่าตัวแปรที่ประกอบอยู่ในสมการของเวนเดอพาว (Gutierrez et al., 2002, p. 6; Van der Pauw, 1958, p. 220)

$$e^{-\pi R_v/R_s} + e^{-\pi R_h/R_s} = 1 \quad (21)$$

เมื่อ R_s คือ ความต้านทานไฟฟ้าเชิงผิว (Surface resistance) ของแผ่นวัสดุตัวอย่าง

ในการมีที่แผ่นตัวอย่างมีความสมมาตรจะพบว่า $R_v = R_h = R$
จากสมการที่ (21) จะได้ว่า

$$\begin{aligned} e^{-\pi R/R_s} + e^{-\pi R/R_s} &= 1 \\ 2e^{-\pi R/R_s} &= 1 \end{aligned} \quad (22)$$

$$e^{-\pi R/R_s} = \frac{1}{2}$$

$$\ln e^{-\pi R/R_s} = \ln \left(\frac{1}{2} \right)$$

$$-\frac{\pi R}{R_s} = -\ln 2$$

ดังนั้นจะได้ $R_s = \frac{\pi R}{\ln 2}$ (23) (ในกรณีที่แผ่นตัวอย่างสมมาตร)

แต่โดยทั่วไปแล้วแผ่นวัสดุตัวอย่างที่นำมาวัดสภาพด้านทันไฟฟ้าจะไม่มีความสมมาตรทำให้ต้องมีการเปลี่ยนค่า R ให้อยู่ในรูปของค่าเฉลี่ยและเฟกเตอร์ f แทน

$$R = \frac{(R_v + R_h)}{2} f \quad (24)$$

เมื่อพิจารณาสมการ (23) และ (24)

จะได้ว่า $R_s = \frac{\pi}{\ln 2} \cdot \frac{(R_v + R_h)}{2} f \quad (25)$

โดยที่เฟกเตอร์ f เป็นค่าที่แสดงถึงผลของการเปลี่ยนแปลงความด้านทันไฟฟ้าเนื่องจากความแตกต่างของรูปร่างของตัวอย่างที่ทำการวัด ซึ่งขึ้นอยู่กับอัตราส่วนระหว่าง R_v และ R_h ทั้งนี้สามารถเขียนสมการแสดงความสัมพันธ์ระหว่าง R_v/R_h กับเฟกเตอร์ f ได้ดังสมการ (Van der Pauw, 1958, p. 221)

$$\cosh \left[\frac{(R_v/R_h)-1}{(R_v/R_h)+1} \cdot \frac{\ln 2}{f} \right] = \frac{1}{2} \exp \frac{\ln 2}{f} \quad (26)$$

พิจารณาค่าสภาพด้านทันไฟฟ้าของแผ่นวัสดุตัวอย่าง

$$\rho = R_s d \quad (27)$$

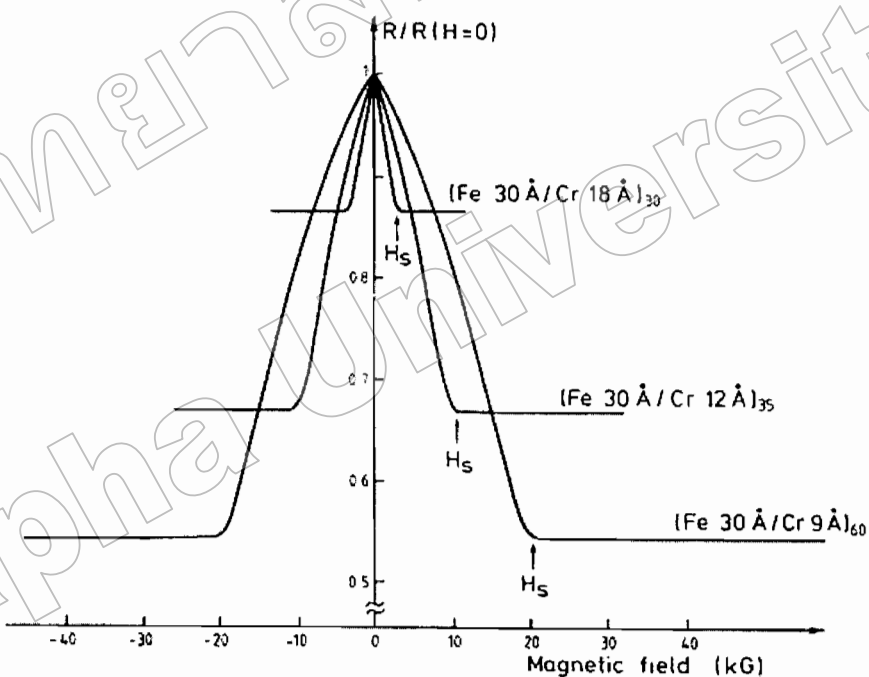
โดยที่ d คือความหนาของแผ่นวัสดุตัวอย่าง

จากสมการ (25) และ (27) พบร่วมกันว่า สมการที่ใช้ในการคำนวณหาค่าสภาพด้านทันไฟฟ้าโดยอาศัยเทคนิคการวัดของวนเดอพาว ในแผ่นวัสดุตัวอย่างที่มีความหนา d คือ

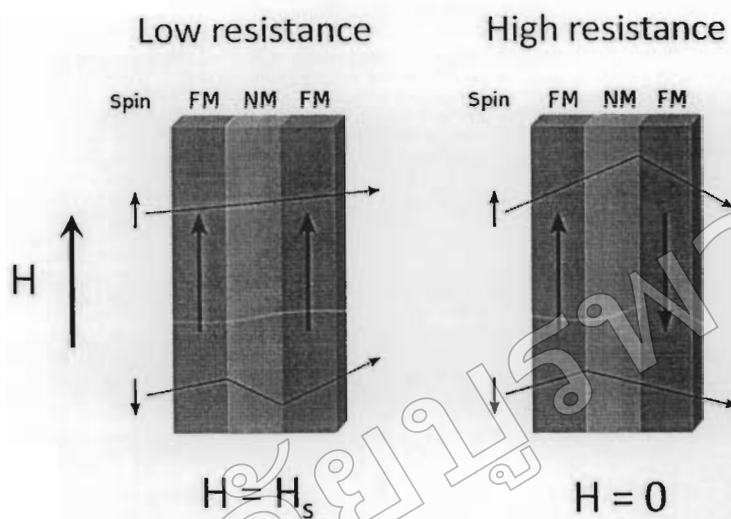
$$\rho = \frac{\pi d}{\ln 2} \cdot \frac{(R_v + R_h)}{2} f \quad (28)$$

2.5.3 การวัดໄใจแอนท์แมกนิโตรีซิสແຕນໜີ

ແມກນິໂຕຣີສແຕນໜີ (Magnetoresistance; MR) ເປັນປາກງານທີ່ການປະເປົດການແປ່ງແປ່ງສາພດດ້ານທານໄຟຟ້າຂອງວັດຖຸເນື່ອຈາກອີທີພລຂອງສະນາມແມ່ເຫັນຈາກກາຍນອກ ໂດຍມີອູ້ທັ້ງໝາຍ 5 ຊົນດີ ໄດ້ແກ່ ອອດຶນາຣີແມກນິໂຕຣີສແຕນໜີ (Ordinary magnetoresistance; OMR), ແອນໄອໂຫຍກອປົກແມກນິໂຕຣີສແຕນໜີ (Anisotropic magnetoresistance; AMR), ທັນເນດແມກນິໂຕຣີສແຕນໜີ (Tunnel magnetoresistance; TMR), ໂຄລອສໜອລແມກນິໂຕຣີສແຕນໜີ (Colossal magnetoresistance; CMR) ແລະ ໄໃຈແອນໜີແມກນິໂຕຣີສແຕນໜີ ໂດຍວັດຖຸແລະກລໄກຂອງການເກີດປາກງານທີ່ MR ແຕ່ລະໜີຈະມີຄວາມແຕກຕ່າງກັນ



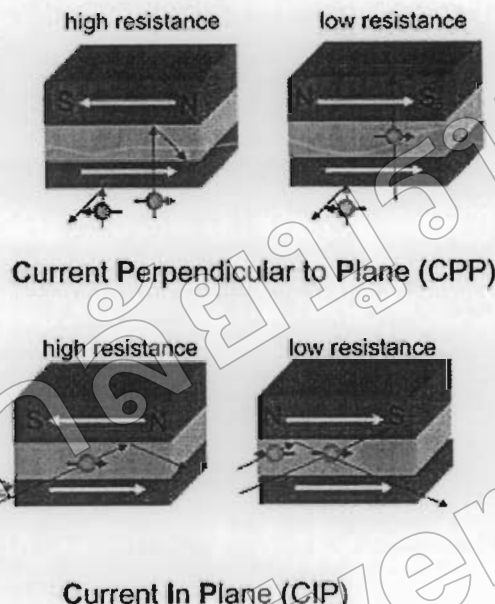
ກາພທີ່ 20 ແສດງຜລກາຮັດຄໍາ GMR ຂອງພິລົມບາງແບນຫລາຍຊັ້ນ $(Fe\ 30\ \text{\AA} / Cr\ 9\ \text{\AA})$ ທີ່ສກາວະອຸນຫຼວມ
ຕໍ່ໃນຈານວິຊາຂອງ Fert (Baibich et al., 1988, p. 2473)



ภาพที่ 21 แสดง原理การณ์ GMR (Academic dictionaries and encyclopedias, 2000)

ในปี 1988 คณะวิจัยของ Albert Fert ได้ค้นพบ原理การณ์ GMR ในฟิล์มบางแบบ ท้ายชั้น Fe/Cr ซึ่งเป็นวัสดุที่มีอันตรกิริยาแบบ AFC จากผลการวัด MR ที่สภาวะอุณหภูมิคำ่า ซึ่งแสดงดังภาพที่ 20 พบว่า สภาพด้านท่านไฟฟ้าในฟิล์มตัวอย่าง $(Fe\ 30\text{\AA}/Cr\ 9\text{\AA})_{60}$ มีค่าสูงขึ้น ประมาณ 50% เมื่อเปรียบเทียบกับสภาพด้านท่านไฟฟ้าในขณะที่สนามแม่เหล็กที่จ่ายให้กับฟิล์ม ตัวอย่างมีค่าเท่ากับ H_s (Baibich et al., 1988) การเปลี่ยนแปลงของสภาพด้านท่านไฟฟ้าดังกล่าว เป็นผลมาจากการอันตรกิริยาระหว่างสปินของอิเล็กตรอนตัวนำกับแมgnite เชชันในชั้นวัสดุ FM จาก กลไกของการเกิด原理การณ์ GMR ในภาพที่ 21 พบว่า ขณะที่สนามแม่เหล็กจากภายนอกมีค่าสูง พojน์สามารถทำให้อันตรกิริยาแบบ AFC หมดกำลัง ($H = H_s$) นั้น แมgnite เชชันของชั้นวัสดุ FM ทั้งสองจะมีทิศการวงตัวอยู่ในแนวเดียวกันกับทิศของสนามแม่เหล็ก เมื่อจ่ายกระแสไฟฟ้าเข้าไปในชั้นงานตัวอย่างพบว่า อิเล็กตรอนตัวนำที่มีสปินอยู่ในทิศตรงกันข้ามกับแมgnite เชชันของชั้นวัสดุ FM เกิดการกระเจิงที่สูง และอิเล็กตรอนตัวนำที่มีสปินอยู่ในทิศเดียวกันกับแมgnite เชชันของชั้นวัสดุ FM เกิดการกระเจิงที่ต่ำ ต่อมาเมื่อหยุดจ่ายสนามแม่เหล็กพบว่า วัสดุตัวอย่างจะแสดง อันตรกิริยาแบบ AFC และชั้น FM ทั้งสองจะมีทิศของแมgnite เชชันที่สวนทางกัน ทำให้อิเล็กตรอนตัวนำที่ไม่ว่าจะมีสปินอยู่ในทิศทางใดก็ตามเกิดการกระเจิงที่สูงทั้งหมด ส่งผลให้สภาพด้านท่านไฟฟ้าของวัสดุดังกล่าวมีค่าสูงขึ้น สำหรับวิธีการวัด GMR นั้นสามารถแบ่งออกได้เป็น 2 วิธี คือ การวัดโดยจ่ายกระแสไฟฟ้าเข้าไปในแนวระนาบของแผ่นวัสดุตัวอย่าง (current in plan; CIP)

และการวัดโดยจ่ายกระแสไฟฟ้าเข้าไปในทิศที่ตั้งฉากกับระนาบของวัสดุตัวอย่าง (current perpendicular to the plan; CPP) ดังแสดงในภาพที่ 22



ภาพที่ 22 แสดงวิธีการวัด GMR แบบ CPP และ แบบ CIP (National Institute for Materials Science (NIMS), 2001)

2.6 เทคนิคการเตรียมตัวอย่างด้วยวิธีสปั๊ตเตอริง (Sputtering)

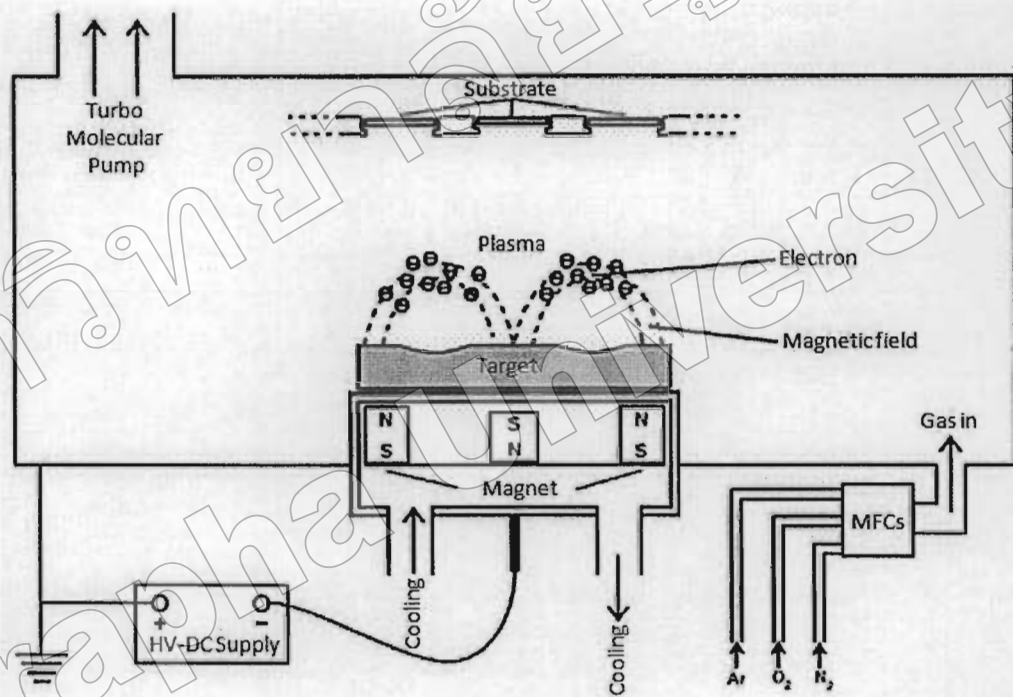
การเตรียมตัวอย่างด้วยวิธีสปั๊ตเตอริงเป็นเทคนิคการเคลือบทางกายภาพวิธีหนึ่ง ที่เหมาะสมต่อการเคลือบวัสดุในลักษณะของฟิล์มบาง โดยสามารถเคลือบได้ทั้งวัสดุที่เป็นสารตัวนำทางไฟฟ้า สารกึ่งตัวนำ และอนุวน การสปั๊ตเตอริงเป็นกระบวนการที่ทำให้อะตอมหรือโมเลกุลของวัสดุที่ต้องการเคลือบทลุดออกจากผิวดองเป้าวัสดุ โดยการระดมยิงเป้าวัสดุด้วยอนุภาคที่มีพลังงาน ซึ่งอะตอมหรือโมเลกุลของวัสดุที่หลุดออกจะไปก่อตัวบนแผ่นวัสดุรองรับปรากฏในลักษณะของฟิล์มบาง เทคนิคที่ใช้ในการเคลือบวัสดุด้วยวิธีการสปั๊ตเตอริงนั้นมีหลายชนิด ซึ่งในแต่ละชนิดจะมีกลไกในการทำให้เกิดการระดมยิงของอนุภาคที่มีพลังงานไปยังเป้าวัสดุที่แตกต่างกัน ยกตัวอย่าง เช่น ในเทคนิคดีซีสปั๊ตเตอริง (DC sputtering) นั้น มีการใช้แรงดันไฟฟ้ากระแสตรงแรงสูงในการทำให้แก๊สอาร์กอนแตกตัวเป็นไออ่อน และเกิดการระดมยิงของไออ่อนของอาร์กอนไปยังเป้าวัสดุที่มีสภาพนำไฟฟ้าสูง ขณะที่เทคนิคอาร์เอฟสปั๊ตเตอริง (RF sputtering) จะใช้แรงดันไฟฟ้ากระแสสลับที่มีความถี่อยู่ในช่วงของคลื่นวิทยุ (Radio frequency; RF) ในการทำให้แก๊สอาร์กอน

แต่ก็ตัวเป็นไออกอน และเกิดการระคมยิงของไออกอนไปยังเป้าวัสดุ เป็นต้น นอกจากนี้พบว่า มีการพัฒนาการเคลือบชิ้นงานตัวอย่างด้วยวิธีสปัตเตอร์ริงให้มีประสิทธิภาพสูงขึ้น โดยการใช้สารนำมายังชิ้นงานตัวอย่างด้วยวิธีสปัตเตอร์ริงที่ของอิเล็กตรอนขณะทำการสปัตเตอร์ริง ทำให้อิเล็กตรอนเกิดการชนกับโมเลกุลของแก๊สอาร์กอน และเกิดเป็นไออกอนที่ใช้ในการระคมยิงเป้าวัสดุได้ในปริมาณที่มากขึ้น เมื่อนำสารนำมายังชิ้นงานตัวอย่างด้วยวิธีสปัตเตอร์ริง ทำให้อิเล็กตรอนและอาร์เอฟสปัตเตอร์ริง จะเรียกเทคนิคดังกล่าวว่า เทคนิกดีซีเมกนิตรอนสปัตเตอร์ริง (DC magnetron sputtering) และเทคนิคอาร์เอฟเมกนิตรอนสปัตเตอร์ริง (RF magnetron sputtering) ตามลำดับ โดยในงานวิจัยนี้ได้มีการนำเทคนิคดีซีและอาร์เอฟเมกนิตรอนสปัตเตอร์ริงมาใช้ในการเตรียมฟิล์มบางตัวอย่างที่สภาวะอุณหภูมิห้อง

2.6.1 เทคนิกดีซีเมกนิตรอนสปัตเตอร์ริง

เทคนิกดีซีเมกนิตรอนสปัตเตอร์ริงหมายความว่า การนำไออกอนฟิล์มบางๆ ของสารตัวนำ และสารกึ่งตัวนำที่มีสภาพนำไฟฟ้าสูง โดยกระบวนการสปัตเตอร์ริงจะถูกดำเนินการในห้องเคลือบสูญญากาศ ที่มีเป้าของวัสดุที่ต้องการเคลือบและแผ่นวัสดุรองรับติดตั้งอยู่ภายในดังแสดงในภาพที่ 23 ก่อนที่จะทำการเคลือบชิ้นงานตัวอย่าง ห้องเคลือบจะถูกทำให้อยู่ในสภาวะสูญญากาศก่อนการปล่อยแก๊สอาร์กอนบรรจุเข้าไปในระบบ ต่อมาศักย์ไฟฟ้ากระแสตรงแรงดันสูงจะถูกจ่ายเข้าไปในห้องเคลือบและทำให้อิเล็กตรอนตัวนำถูกปล่อยออกจากเป้าวัสดุที่เชื่อมติดอยู่กับขั้วลบหรือขั้วแคโทด (Cathode) และมีทิศทางการเคลื่อนที่ไปสู่ขั้วนอกหรือขั้วเอโนด (Anode) ที่เชื่อมติดอยู่กับแท่นวางแผ่นวัสดุรองรับและแผ่นห้องเคลือบ ระหว่างการเคลื่อนที่นั้น อิเล็กตรอนตัวนำดังกล่าวจะเกิดการชนกับโมเลกุลของแก๊สอาร์กอน ทำให้แก๊สอาร์กอนแตกตัวออกเป็นไออกอนบวกของอาร์กอน (Ar^+) และอิเล็กตรอน โดยจะเรียกว่า สภาวะที่ภายในห้องเคลือบประกอบไปด้วยโมเลกุลของแก๊สอาร์กอน ไออกอนบวกของอาร์กอน และอิเล็กตรอน ว่า การเกิดพลาสม่า (Plasma) หลังจากนี้ ไออกอนบวกของอาร์กอนจะถูกเร่งให้เคลื่อนที่ชนกับเป้าของวัสดุซึ่งเป็นขั้วลบเนื่องจากแรงคูลомн์ (Coulomb force) ผลจากการชนทำให้อะตอนหรือโมเลกุลที่ผิวของเป้าวัสดุ หลุดออก และเคลื่อนที่ไปก่อตัวบนแผ่นวัสดุรองรับ แต่ในกระบวนการเคลือบด้วยวิธีสปัตเตอร์ริงนั้น พบว่า อิเล็กตรอนตัวนำบางส่วนที่หลุดออกมาจากเป้าวัสดุ(ขั้วแคโทด) จะไม่เคลื่อนที่เข้าไปในบริเวณพื้นที่ของการเกิดพลาสม่า แต่จะเคลื่อนที่ไปทั่วบริเวณรอบห้องเคลือบ ทำให้อัตราการเคลือบที่เกิดขึ้นมีค่าต่ำ เมื่อจากอิเล็กตรอนที่ทำให้แก๊สอาร์กอนแตกตัวเป็นไออกอนมีจำนวนลดลง นอกจากนี้ อิเล็กตรอนที่เคลื่อนที่ไปรอบห้องเคลือบ อาจเคลื่อนที่ไปชนและทำให้รั้นงานเกิดความเสียหาย หรือ ทำให้เป้าวัสดุมีความร้อนเกิดขึ้น ในการแก้ไขปัญหาดังกล่าวจึงมีการนำ

สามารถแม่เหล็กมาใช้ในการควบคุมทิศทางการเคลื่อนที่ของอิเล็กตรอนตัวนำ เพื่อจำกัดให้อิเล็กตรอนตัวนำไม่มีการเคลื่อนที่อยู่ในบริเวณพื้นที่ของการเกิดพลาสما โดยติดตั้งแม่เหล็กเข้าไปที่บริเวณด้านหลังหรือด้านข้างของเป้าวัสดุ ดังแสดงในภาพที่ 23 ทำให้มีอิเล็กตรอนตัวนำจำนวนมากเคลื่อนที่ไปสะสมอยู่ในพื้นที่บริเวณเหนือเป้าวัสดุ และเกิดการชนกับโมเลกุลของแก๊สอาร์กอน ไอออนของอาร์กอนที่เกิดขึ้นและที่ถูกระดมยิงไปยังเป้าวัสดุจะมีปริมาณที่เพิ่มขึ้น ส่งผลให้การเคลื่อนชีวนิจกรรมด้วยวิธีดีซีเมกนิตرونสปัตเตอริงมีอัตราการเคลื่อนที่สูงขึ้น เมื่อเทียบเทียบกับวิธีการเคลื่อนแบบดีซีสปัตเตอริงทั่วไป



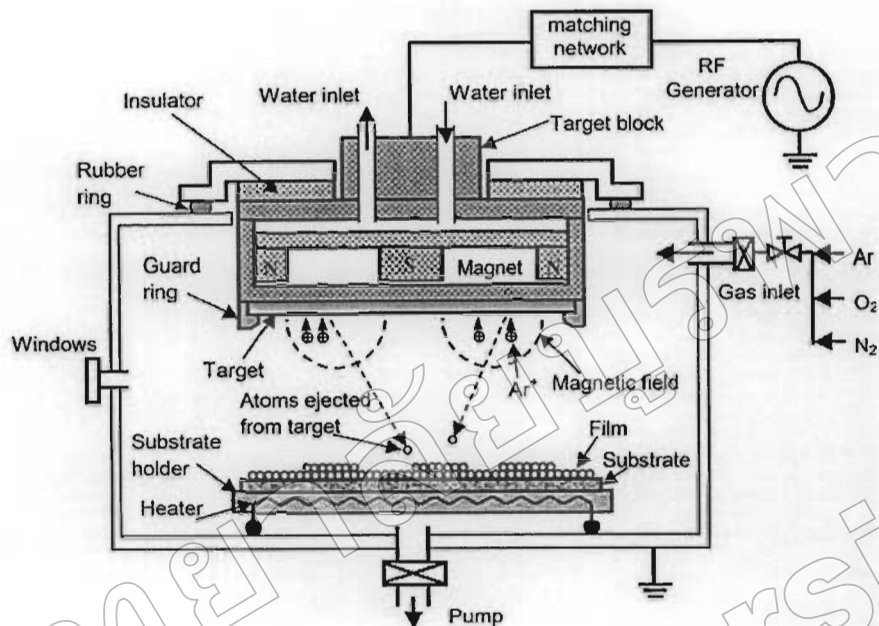
ภาพที่ 23 แสดงระบบการเคลื่อนตัวอย่างด้วยเทคนิคดีซีเมกนิตرونสปัตเตอริง (RWTH Aachen, 2003)

ในการเคลื่อนวัสดุที่เป็นจำนวนมากโดยใช้เทคนิคดีซีสปัตเตอริงนั้น พบว่า อิเล็กตรอนตัวนำไม่สามารถเคลื่อนที่หลุดออกมานอกจากเป้าวัสดุที่เป็นจำนวนมากได้ ทำให้ไม่มีการแตกตัวเป็นไอออนของอาร์กอนและพลาสma ปราภกูชีนในห้องเคลื่อน การที่จะเห็นยานำให้โมเลกุลของแก๊สอาร์กอนแตกตัวเป็นไอออนที่สภาวะดังกล่าวได้นั้น จำเป็นต้องใช้แรงดันไฟฟ้าที่สูงมากประมาณ 10^{12} V ซึ่งการใช้แรงดันไฟฟ้าขนาดดังกล่าว จะส่งผลให้เป้าวัสดุและชิ้นงานตัวอย่างเกิดความเสียหาย ดังนั้น

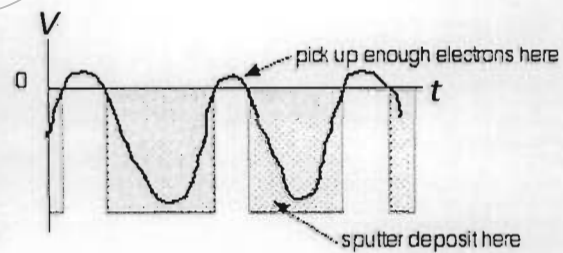
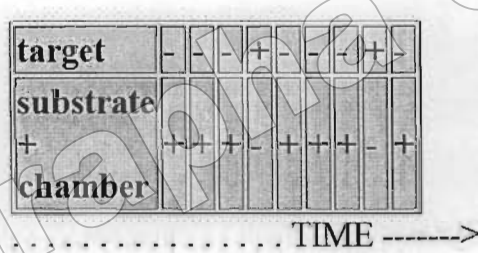
เทคนิคดีซีสปีตเตอริงจึงไม่เหมาะสมต่อการนำมาใช้เคลื่อนวัสดุที่เป็นอนุวน หรือวัสดุที่มีสภาพนำไฟฟ้าต่ำ

2.6.2 เทคนิคอาร์เอฟแมกนิตรอนสปีตเตอริง

เทคนิคอาร์เอฟแมกนิตรอนสปีตเตอริงเป็นเทคนิคที่นิยมนำมาใช้ในการเคลื่อนวัสดุที่เป็นอนุวน และสารกึ่งตัวนำที่สภาพนำไฟฟ้าต่ำ เนื่องจากแรงดันไฟฟ้ากระแสสลับที่ใช้ในระบบดังกล่าว สามารถเหนี่ยววนนำให้แก่สาร์กอนแตกตัวเป็นไอออนและประภูมิพลาสม่าขึ้นได้ โดยไม่ทำให้เกิดความเสียหายกับเป้าวัสดุและชิ้นงานตัวอย่าง ซึ่งลักษณะของระบบการเคลื่อนตัวอย่างด้วยเทคนิคอาร์เอฟแมกนิตรอนสปีตเตอริงแสดงดังภาพที่ 24 สำหรับแรงดันไฟฟ้ากระแสสลับที่จ่ายให้กับระบบดังกล่าวนี้ มีค่าความถี่เท่ากับ 13.56 MHz ซึ่งอยู่ในย่านความถี่ของคลื่นวิทยุ โดยทำให้เกิดการสับขี้ไฟฟ้าแอโนด-แคโทด ระหว่าง เป้าวัสดุ กับแผ่นวัสดุรองรับและผนังห้องเคลื่อนดังแสดงในภาพที่ 25 (ก) หากการที่อิเล็กตรอนมีมวลที่น้อยมาก การสับขี้ไฟฟ้าด้วยความถี่ที่สูงถึง 13.56 MHz จึงส่งผลให้อิเล็กตรอนตัวนำในห้องเคลื่อนเกิดการสั่นและเคลื่อนที่ไปมา กับโมเดลกุลของแก๊สสาร์กอน ทำให้เกิดการแตกตัวเป็นไอออนของสาร์กอนและประภูมิพลาสม่าขึ้น ในขณะที่ไอออนของสาร์กอนที่เกิดขึ้นจะไม่เกิดการสั่นตามการสับขี้ไฟฟ้าดังกล่าว เนื่องจากอนุภาคดังกล่าวมีมวลที่ค่อนข้างหนัก และเมื่อสังเกตในภาพที่ 25 (ข) พบว่า ค่าศักยไฟฟ้าที่เกิดขึ้นที่เป้าวัสดุจะมีการสับระหว่างค่าบวกและค่าลบ โดยเมื่อคักยไฟฟ้าที่เป้าวัสดุมีค่าเป็นลบ ไอออนบวกของสาร์กอนจะเคลื่อนที่เข้าชนเป้าวัสดุ ทำให้อะตอนหรือโมเดลกุลที่ผิวของวัสดุหลุดออกจากเป้า และเคลื่อนที่ไปก่อตัวบนแผ่นวัสดุรองรับ แต่ในขณะที่ค่าศักยไฟฟ้าที่เป้าวัสดุมีค่าเป็นบวก ซึ่งเกิดขึ้นพร้อมกับการที่แน่วางแผ่นวัสดุรองรับและผนังของห้องเคลื่อนมีค่าศักยไฟฟ้าเป็นลบ พบว่า การระดมยิงของไอออนของสาร์กอนไปยังแผ่นวัสดุรองรับจะเกิดขึ้นในปริมาณที่น้อยมาก และไม่ทำให้เกิดความเสียหายขึ้นกับชิ้นงานตัวอย่าง เนื่องจากพื้นที่โดยรวมของแท่นวางแผ่นวัสดุรองรับและผนังของห้องเคลื่อนมีขนาดที่ใหญ่มากเมื่อเปรียบเทียบกับขนาดพื้นที่ของเป้าวัสดุ ทำให้ไอออนของสาร์กอนที่เคลื่อนที่ไปมาแผ่นวัสดุรองรับมีพลังงานต่อพื้นที่ที่ต่ำ นอกจากนี้การใช้สารามแม่เหล็กช่วยในการบังคับทิศทางการเคลื่อนที่ของอิเล็กตรอนเพื่อทำให้อาร์กอนแตกตัวเป็นไอออน ได้มากขึ้นนั้น จะทำให้อัตราการเคลื่อนมีค่าสูง เช่นเดียวกับการเคลื่อนด้วยเทคนิคดีซีแมกนิตรอนสปีตเตอริง



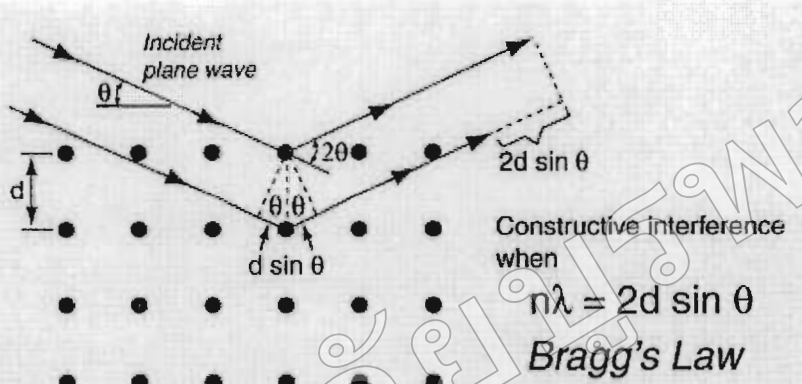
ภาพที่ 24 แสดงระบบการเคลือบตัวอย่างด้วยเทคนิคการอิเล็กตรอนสปัตเตอร์ (Song, 2008)



ภาพที่ 25 (ก) แสดงการสลับขั้วไฟฟ้าและโคนค-แคโทดของเป้าวัสดุ แผ่นวัสดุรองรับ และผนังห้องเคลือบ (ข) แสดงค่าศักย์ไฟฟ้า (V) ของเป้าวัสดุที่เป็นฟังก์ชันของเวลา (t)

(University of Colorado Colorado Springs, 2000)

2.7 เทคนิคการวิเคราะห์ลักษณะทางโครงสร้างด้วยการเลี้ยวเบนของรังสีเอกซ์



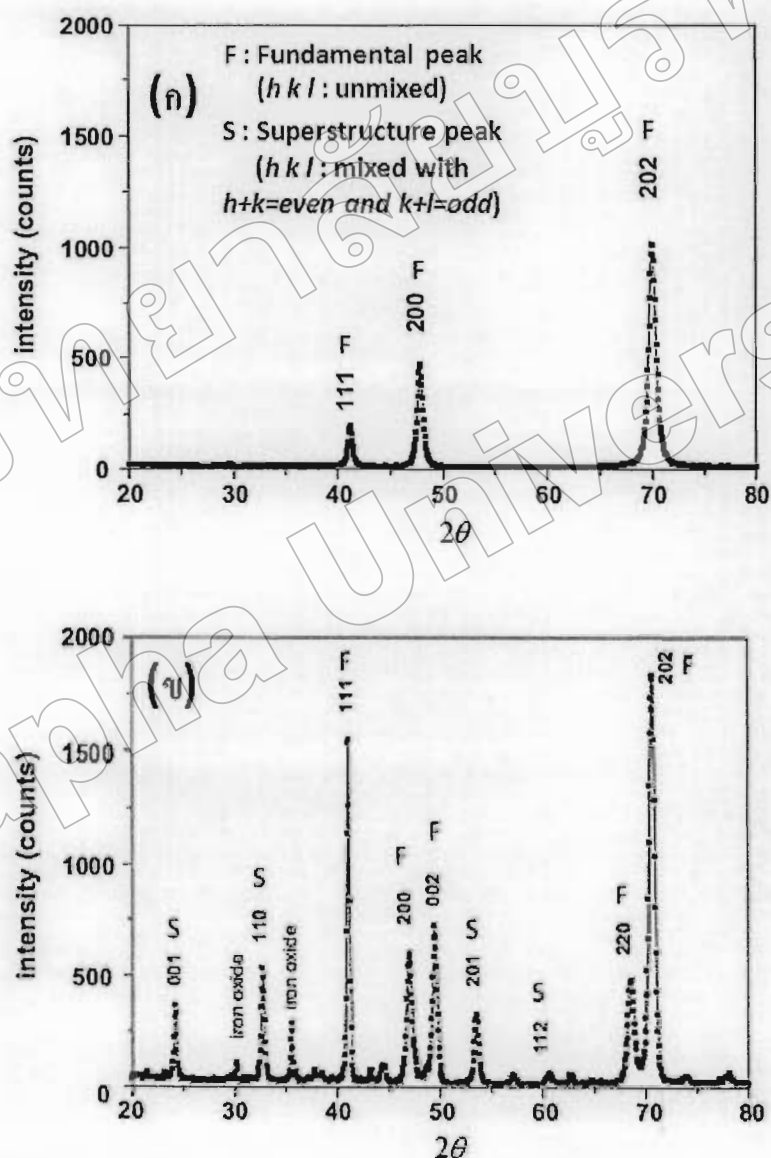
ภาพที่ 26 แสดงการเลี้ยวเบนของรังสีเอกซ์ผ่านระนาบของโครงร่างผลึก (HyperPhysics, 2010 a)

การวิเคราะห์ลักษณะทางโครงสร้างของชิ้นงานตัวอย่างด้วยเทคนิค XRD นี้เป็นที่นิยมกันอย่างแพร่หลาย โดยสามารถวิเคราะห์ข้อมูลอุปกรณ์ให้อยู่ในรูปของพิกัดของความเข้มข้นที่เกิดจากการแทรกสอดของรังสีเอกซ์ หลังจากที่ได้มีการเลี้ยวเบนผ่านระนาบของโครงร่างผลึกที่มุมของผลกระทบทบทั่ง ๆ ดังแสดงในภาพที่ 26 เมื่อนำมาใช้ในการเลี้ยวเบนของรังสีเอกซ์ที่ทำให้เกิดการแทรกสอดดังกล่าวสามารถอธิบายให้อยู่ในรูปของกฎของแบร็ก (Bragg's law) ที่กล่าวว่า การแทรกสอดแบบเดิมของรังสีเอกซ์นั้นจะเกิดขึ้น เมื่อรังสีเอกซ์ที่ผ่านการเลี้ยวเบนจากระนาบของโครงร่างผลึกแล้วมาแทรกสอดกัน มีความแตกต่างของระยะทางที่เคลื่อนที่ได้มีค่าเท่ากับ $n\lambda$ เมื่อ n คือ เลขจำนวนเต็มซึ่งมีค่าเท่ากับ 1, 2, 3, ... โดยสามารถอธิบายได้ดังความสัมพันธ์

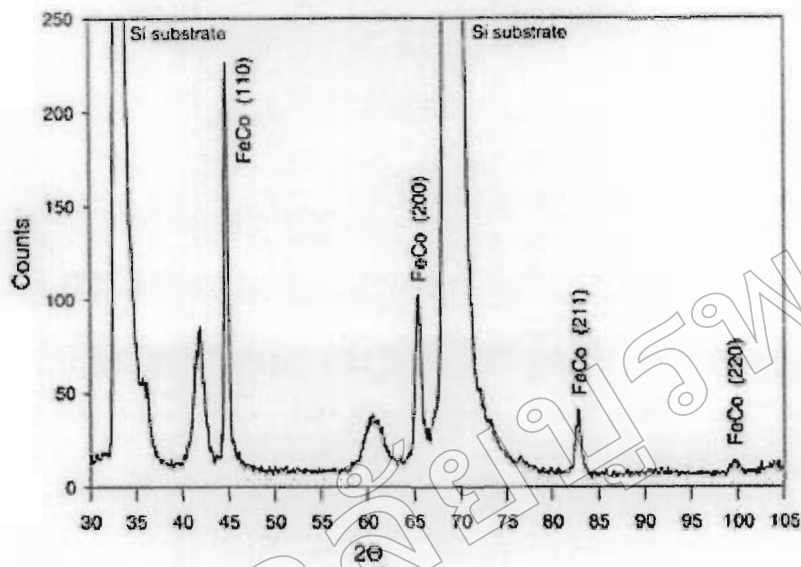
$$2ds\sin\theta = n\lambda \quad (29)$$

เมื่อ d คือ ระยะห่างระหว่างระนาบในโครงร่างผลึก, θ คือ มุมกระเจิงของรังสีเอกซ์ และ λ คือ ความยาวคลื่นของรังสีเอกซ์ ในการศึกษาโครงสร้างวัสดุของแข็ง โดยใช้เครื่องเอกซ์เรย์ดิฟเฟรนซ์มิเตอร์ (X-ray diffractometer) นี้ แหล่งกำเนิดรังสีเอกซ์และชิ้นงานตัวอย่างจะถูกยึดติดอยู่กับที่ในขณะที่หัวตรวจรังสีจะมีการหมุนการเพื่อทำมุม 2θ กับแนวรังสีเอกซ์ที่เคลื่อนที่มาติดกับกันผิวชิ้นงานตัวอย่าง ผลการวิเคราะห์จะแสดงอยู่ในรูปของกราฟที่แสดงความสัมพันธ์ระหว่างความเข้มของการเลี้ยวเบนของรังสีเอกซ์ที่วัดได้กับมุม 2θ ของวัสดุตัวอย่างที่มีโครงสร้าง

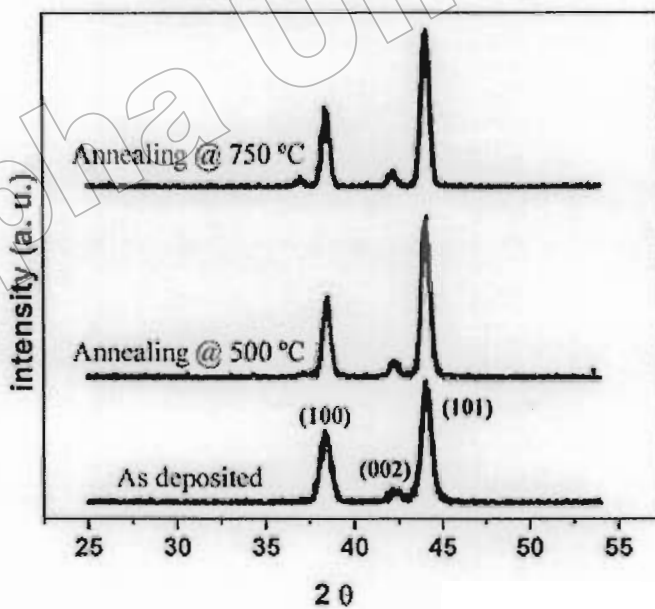
แตกต่างกัน โดยมีรูปแบบของพีกของความเข้มที่ปรากฏในกราฟดังกล่าวเป็นลักษณะเฉพาะ ซึ่งตัวอย่างผลการวิเคราะห์ด้วยเทคนิค XRD ของ $\text{Fe}_{50}\text{Pd}_{50}$ (Issro et al., 2005, p.448), $\text{Co}_{50}\text{Fe}_{50}$ (Sorescu, Grabias, Tarabasanu-Mihaila, & Diamandescu, 2003, p. 234) และ Ru (Li, Farmer, Gordon, Lin, & Vlassak, 2007, p. D645) ในงานวิจัยที่ผ่านมา แสดงดังภาพที่ 27, 28 และ 29 ตามลำดับ



ภาพที่ 27 แสดงตัวอย่างผลการวิเคราะห์ XRD ของ (ก) ฟอยล์บัง A1-FePd ที่เตรียมได้โดยวิธีรัดเย็น (cold-rolled) ที่อุณหภูมิห้อง (ข) ฟอยล์บัง L1₀-FePd ที่เตรียมได้โดยการผ่านการอบความร้อนที่อุณหภูมิ 733 K เป็นเวลา 15 ชม. (Issro et al., 2005, p.448)



ภาพที่ 28 แสดงตัวอย่างผลการวิเคราะห์ XRD ของฟิล์มบาง B2-Co₅₀Fe₅₀ ที่เตรียมด้วยวิธี Pulsed laser deposition (PLD) ที่อุณหภูมิห้อง (Sorescu et al., 2003, p. 234)

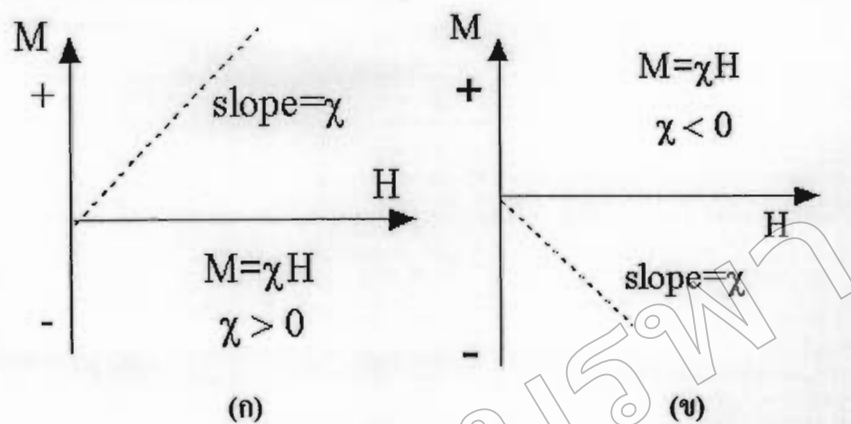


ภาพที่ 29 แสดงตัวอย่างผลการวิเคราะห์ XRD ของฟิล์มบาง A3-Ru ที่เตรียมด้วยวิธี Pulsed chemical vapor deposition (Pulsed CVD) ที่อุณหภูมิ 130 °C และที่ผ่านการอบความร้อนที่อุณหภูมิ 500 และ 750 °C เป็นเวลา 1 นาที (Li et al., 2007, p. D645)

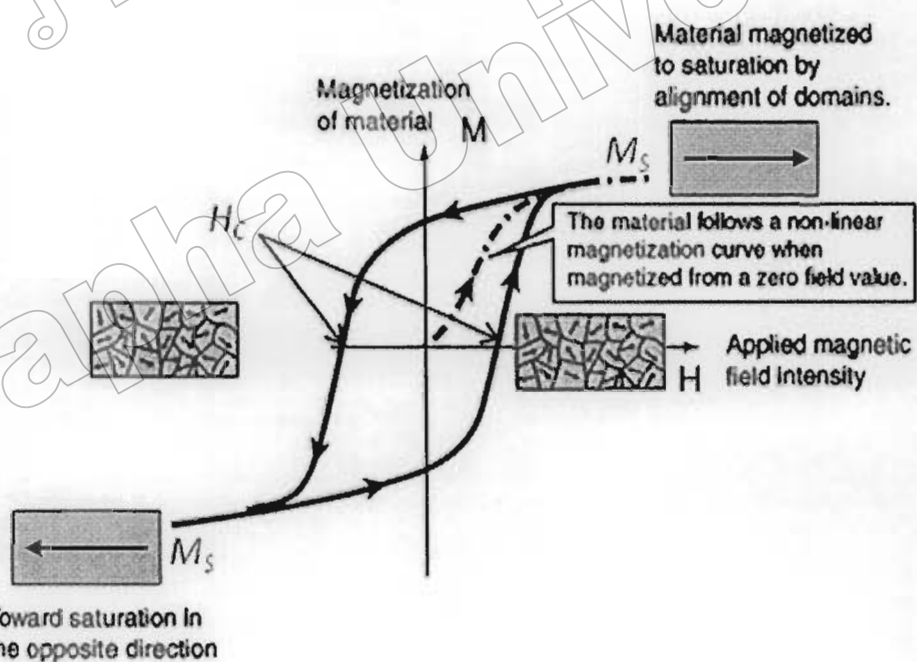
พีคที่ปรากฏขึ้นในผลการวิเคราะห์ลักษณะทางโครงสร้างด้วย XRD จะมีอยู่ 2 ชนิดคือ พีคแบบ Fundamental เป็นพีคที่เกิดจากการเลี้ยวเบนของรังสีเอกซ์โดยไม่ขึ้นอยู่กับความเป็นระเบียนของอะตอมในโครงสร้างผลึก และพีคแบบ Superstructure เป็นพีคที่เกิดจากการเลี้ยวเบนของรังสีเอกซ์ที่จะปรากฏขึ้นเมื่ออะตอมในโครงสร้างผลึกมีการจัดเรียงตัวที่เป็นระเบียน ดังนั้น การเปลี่ยนแปลงทางโครงสร้างของโลหะผสม FePd จาก A1 ซึ่งเป็นโครงสร้างที่มีการจัดเรียงตัวของอะตอมที่ไม่เป็นระเบียบไปเป็นโครงสร้างแบบ $L1_0$ ที่มีการจัดเรียงตัวของอะตอมที่เป็นระเบียนสามารถสังเกตได้จากการปรากฏขึ้นของพีคแบบ Superstructure ในผลการวิเคราะห์ด้วยเทคนิค XRD ของโลหะผสมดังกล่าว เมื่อพิจารณาในภาพที่ 27(ก) พบว่า ไม่ปรากฏพีคแบบ Superstructure เกิดขึ้น เมื่อจาก A1-FePd มีการจัดเรียงตัวของอะตอมที่ไม่เป็นระเบียบ แต่เมื่ออะตอมของ Fe และ Pd มีการเคลื่อนที่เพื่อจัดเรียงตัวของอะตอมใหม่ เมื่อจากพลังงานความร้อนที่ได้รับและเกิดการเรียงตัวที่เป็นระเบียนมากขึ้น ทำให้พีคดังกล่าวปรากฏขึ้นในผลการวิเคราะห์ด้วยเทคนิค XRD ของ $L1_0$ -FePd ซึ่งแสดงดังภาพที่ 27(ข)

2.8 เทคนิคการวิเคราะห์สมบัติทางแม่เหล็ก

สมบัติทางแม่เหล็กของวัสดุต่างๆ นั้นสามารถพิจารณาได้จากค่าแมgnитไซเซชัน (M) ที่เกิดขึ้น เมื่อมีการจ่ายสนามแม่เหล็กจากภายนอก (H) ให้กับวัสดุ โดยวัสดุที่มีสมบัติทางแม่เหล็กต่างชนิดกันจะมีการแปรผันของค่า M ตามการเปลี่ยนแปลงของค่า H ที่แตกต่างกัน ทำให้กราฟที่แสดงความสัมพันธ์ระหว่าง M กับ H มีรูปร่างลักษณะที่เฉพาะตามชนิดของสมบัติทางแม่เหล็ก ยกตัวอย่างเช่น ในวัสดุแม่เหล็กพารา (Paramagnetism) นั้น M ที่เกิดขึ้นจะแปรผันตรงกับค่า H ทำให้กราฟความสัมพันธ์ $M - H$ มีลักษณะเป็นเส้นตรงดังแสดงในภาพที่ 30(ก) ขณะที่วัสดุที่มีสมบัติทางแม่เหล็กแบบไดโอดา (Diamagnetism) จะมีค่า M ที่แปรผันกับค่า H โดยสามารถสังเกตได้จากการฟความสัมพันธ์ $M - H$ ดังแสดงในภาพที่ 30(ข)



ภาพที่ 30 กราฟแสดงความสัมพันธ์ระหว่าง M กับ H ของ (ก) วัสดุที่มีสมบัติทางแม่เหล็กแบบพารา (ข) วัสดุที่มีสมบัติทางแม่เหล็กแบบไดโอด (Institute for Rock Magnetism, University of Minnesota, 2009)

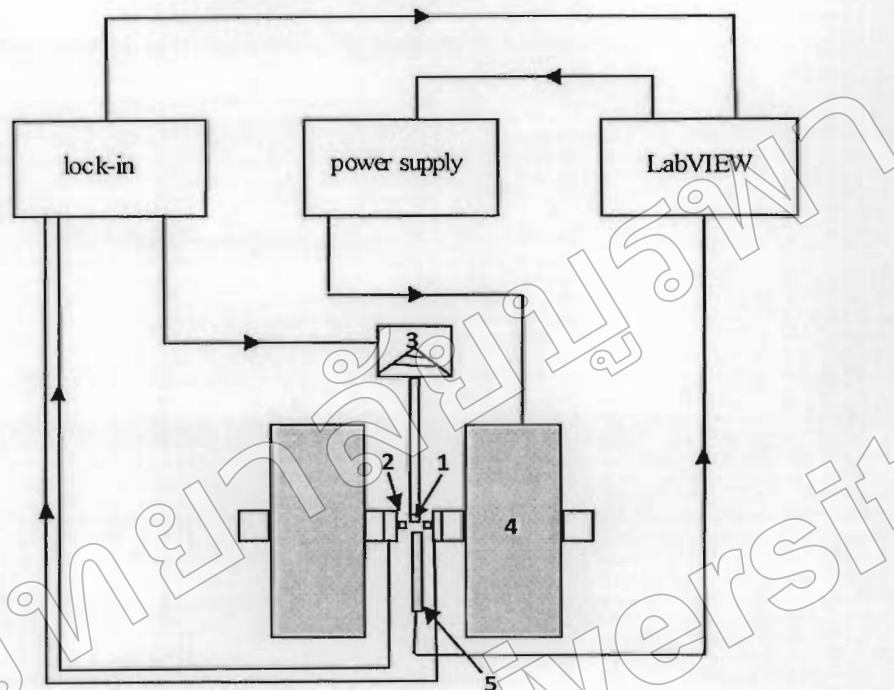


ภาพที่ 31 แสดงวงชีสเทอร์ซิสของวัสดุที่มีสมบัติทางแม่เหล็กแบบเพอร์โว (HyperPhysics, 2010 b)

สำหรับความสัมพันธ์ระหว่าง M กับ H ของวัสดุที่มีสมบัติทางแม่เหล็กแบบเฟอร์โรนั้น จะมีรูปแบบที่ไม่เป็นเส้นตรง (Non-linear) โดยกราฟความสัมพันธ์ $M - H$ ที่วัดได้จะมีลักษณะเป็นเส้นโค้งและเมื่อให้สนาม H ครอบทั้งทิศทาง + และทิศทาง - พบว่า กราฟความสัมพันธ์ดังกล่าวจะมีลักษณะเป็นวง เรียกว่า วงชีสเทอร์ไซซ์ (Hysteresis loop) ดังแสดงในภาพที่ 31 โนเมนต์แม่เหล็กของอะตอมที่อยู่ใกล้เคียงกันภายในวัสดุแบบ FM จะรวมตัวกันเป็นกลุ่มที่เรียกว่า โดเมนแม่เหล็ก (Magnetic domain) ในขณะที่ยังไม่มีการให้สนามแม่เหล็กแก้วัสดุดังกล่าว ทิศทางของโดเมนแม่เหล็กแต่ละโดเมนจะแตกต่างกันและจัดวางตัวแบบสุ่ม ทำให้ M ที่วัดได้มีค่าน้อยมาก หรือมีค่าเป็นศูนย์ ต่อมาเมื่อให้ H กับชิ้นงานตัวอย่างพบร่วมด้วย โดเมนแม่เหล็กแต่ละโดเมนจะเริ่มนีกการบิดตัวตามทิศทางของ H และเกิดการรวมตัวกัน ทำให้ M ของวัสดุดังกล่าวมีค่าเพิ่มขึ้น โดยเมกนิโตกเซชันจะเพิ่มขึ้นจนมีค่าสูงที่สุดและอิ่มตัว (Saturation magnetization; M_s) เมื่อโดเมนแม่เหล็กทั้งหมดในวัสดุดังกล่าวมีการรวมตัวกันจนถาวรเป็นโดเมนเดียว และวางตัวอยู่ในทิศทางเดียวกันกับทิศของ H ต่อมาเมื่อถอดสนามแม่เหล็กลงจนมีค่าเท่ากับศูนย์พบว่า โดเมนแม่เหล็กบางส่วนยังคงรักษาทิศทางเดิมตามทิศของ H ที่ให้ก่อนหน้านี้ ทำให้ $M \neq 0$ การที่จะทำให้เมกนิโตกเซชันของวัสดุแบบ FM มีค่าเป็นศูนย์ได้นั้น สามารถทำได้โดยการให้ H ที่มีทิศทางตรงกันข้ามกับทิศทางเดิมและมีค่าเท่ากับ H_c ดังกล่าวดังแสดงในภาพที่ 31 ค่า H_c ของวัสดุแบบ FM นั้นถูกนำไปใช้ในการแบ่งวัสดุดังกล่าวออกเป็น 2 ประเภท คือ วัสดุแม่เหล็กชนิดแข็ง เป็นวัสดุแบบ FM ที่มีค่า H_c สูงทำให้ต้องใช้สนามแม่เหล็กที่สูงในการทำให้เมกนิโตกเซชันลายไป และวัสดุแม่เหล็กชนิดอ่อน เป็นวัสดุ FM ที่เมกนิโตกเซชันสามารถถูกทำลายได้ง่ายเมื่อมีค่า H_c ต่ำ

สำหรับการวิเคราะห์สมบัติทางแม่เหล็กของพิล์มตัวอย่างในงานวิจัยนี้ จะทำการศึกษา วงชีสเทอร์ไซซ์ของชิ้นงานด้วยเมกนิโ-dometer แบบสั่นตัวอย่าง (Vibrating sample magnetometer; VSM) และเมกนิโ-dometer แบบเกรเดียนท์แรงสั่น (Alternating gradient force magnetometer; AGFM)

2.8.1 หลักการทำงานของแมกนิโตมิเตอร์แบบสั่นตัวอย่าง

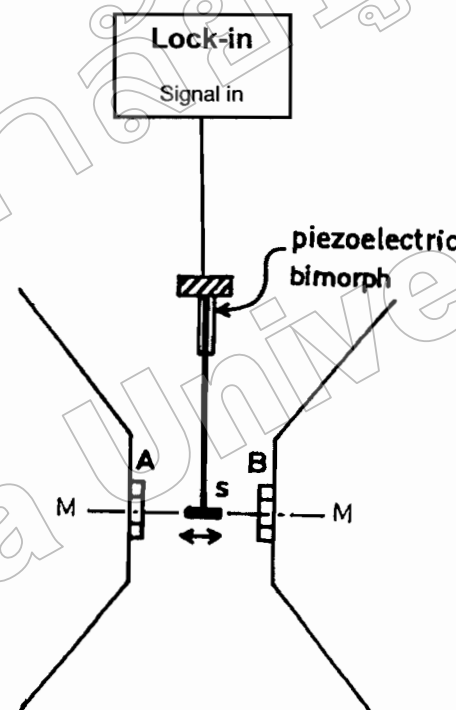


ภาพที่ 32 แสดงแผนภาพของชุดอุปกรณ์ VSM โดยที่ (1) คือ ชิ้นงานตัวอย่าง, (2) คือ ขดลวดตรวจวัด (Detection coil), (3) คือ เครื่องสั่น (Vibrator), (4) คือ แม่เหล็กไฟฟ้า (Electromagnet) และ (5) คือ หัวตรวจวัดสนามแม่เหล็ก (Burgei, Pechan, & Jaeger, 2003, p. 826)

ชิ้นงานตัวอย่างที่ถูกนำไปวิเคราะห์ทางชีสเทอเรซิสด้วย VSM นั้น จะถูกนำไปติดอยู่ที่ปลายของแท่งวัสดุที่ไม่มีสมบัติทางแม่เหล็ก และถูกนำไปวางอยู่ระหว่างขั้วแม่เหล็กไฟฟ้าที่มีขดลวดตรวจวัดติดอยู่ ดังแสดงในภาพที่ 32 โดยขดลวดของแม่เหล็กไฟฟ้านี้จะต่อ กับแหล่งจ่ายไฟฟ้ากระแสตรง และขดลวดตรวจวัดจะต่อ อุปกรณ์ที่ใช้ในการขยายสัญญาณทางไฟฟ้า ชิ้นงานตัวอย่างจะถูกทำให้สั่นด้วยการแกว่งของแท่งวัสดุ NM ซึ่งถูกความคุมจากอุปกรณ์ให้กำเนิดการสั่นพร้อมกับทำการจ่ายสนามแม่เหล็กที่มีความสม่ำเสมอ (Uniform magnetic field) จากขั้วแม่เหล็กไฟฟ้า ทำให้แมกนิโตกลับในชิ้นงานตัวอย่างที่เป็นวัสดุแบบ FM มีค่าสูงขึ้นเนื่องจากโดยเมนแม่เหล็กมีจุดคงตัวตามทิศทางของ H เมื่อชิ้นงานตัวอย่างมีการเคลื่อนที่เข้าใกล้และออกห่างจากขดลวดตรวจวัดแบบกลับไปกลับมา แมกนิโตกลับในชิ้นงานตัวอย่างจะทำให้เกิดการ

เปลี่ยนแปลงฟลักซ์แม่เหล็กและเกิดกระแสหนึ่งที่มีผลต่อการเกิดศักย์ไฟฟ้าขึ้นในชุดควบคุม โดยค่าศักย์ไฟฟ้าคงคล่องที่จะเป็นสัดส่วนกับค่าแมgnิติเดชชันที่เกิดขึ้นในชี้นงานตัวอย่างและถูกส่งไปยังอุปกรณ์ขยายสัญญาณ Lock-in เมื่อทำการเปลี่ยนแปลงค่าสนามแม่เหล็กที่ให้กับชี้นงาน ค่าศักย์ไฟฟ้าที่วัดได้ในชุดควบคุม โลหะจะมีการเปลี่ยนแปลงไปตามแมgnิติเดชชันที่เกิดขึ้น ความสัมพันธ์ระหว่างสนามแม่เหล็กที่จ่ายให้กับชี้นงานตัวอย่างและแมgnิติเดชชันที่วัดได้ จะแสดงออกมาอยู่ในรูปของวงชีสเทอร์ zi สโดยโปรแกรมวิเคราะห์

2.8.2 หลักการทำงานของแมgnิติเดอร์แบบเกรเดียนท์แรงสัมบูรณ์



ภาพที่ 33 แสดงแผนภาพชุดอุปกรณ์ AGFM โดยที่ A,B คือ ชุดควบคุมโลหะที่ใช้ในการสร้างสนามแม่เหล็กแบบเกรเดียนท์ (Gradient field coil), M คือ ขั้วแม่เหล็กไฟฟ้า และ S คือ ชี้นงานตัวอย่าง (Graham, 2000, p. 100)

สำหรับชี้นงานตัวอย่างที่ถูกนำໄไปวิเคราะห์ห่วงชีสเทอร์ zi สด้วย AGFM นั้น จะถูกนำไปติดอยู่ที่ปลายด้านล่างของแท่งวัสดุไฟเบอร์ที่มีปลายด้านบนยึดติดอยู่กับอุปกรณ์ piezoelectric bimorph และถูกนำໄไปวางอยู่ระหว่างขั้วแม่เหล็กไฟฟ้าที่มีชุดควบคุมอยู่ดังแสดงในภาพที่ 33 โดยขั้วแม่เหล็กไฟฟ้านี้จะต่อ กับแหล่งจ่ายไฟฟ้ากระแสตรง แต่ชุดควบคุมสร้างสนามเกรเดียนท์จะต่อ กับ

แหล่งจ่ายไฟฟ้ากระแสสลับ ทำให้สนามแม่เหล็กที่จ่ายให้กับชิ้นงานตัวอย่างเป็นสนามแม่เหล็กแบบเกรเดียนท์ (Greadient) ที่มีความไม่สม่ำเสมอ เนื่องจากการที่สนามแม่เหล็กไฟฟ้ากระแสสลับ (Alternating current magnetic field) จากขดลวดโดยมีการซ้อนทับกับสนามแม่เหล็กไฟฟ้ากระแสตรง (Direct current magnetic field) ที่จ่ายจากขั้วแม่เหล็กไฟฟ้า ชิ้นงานตัวอย่างที่อยู่ในสนามแม่เหล็กแบบเกรเดียนท์ จะเกิดการสั่นเนื่องจากมีแรงม้ากระทำ โดยที่แรงดังกล่าวเป็นสัดส่วนกับขนาดของสนามแม่เหล็กแบบเกรเดียนท์ และ โมเมนต์แม่เหล็กของชิ้นงานตัวอย่าง ซึ่งแรงที่เกิดขึ้นในรูปแบบของการสั่นจะถูกวัดโดย piezoelectric bimorph ที่ติดอยู่กับปลายค้านบนของแท่งไฟเบอร์และถ่วงข้อมูลเป็นสัญญาณทางไฟฟ้าไปยังอุปกรณ์ Lock-in เพื่อที่จะนำไปวิเคราะห์ข้อมูลอุณหภูมิเป็นวงฮิสเทอเรชิสท์แสดงความสัมพันธ์ระหว่างสนามแม่เหล็กที่จ่ายให้กับชิ้นงานตัวอย่างและแมgnitude เซซันที่เกิดขึ้น